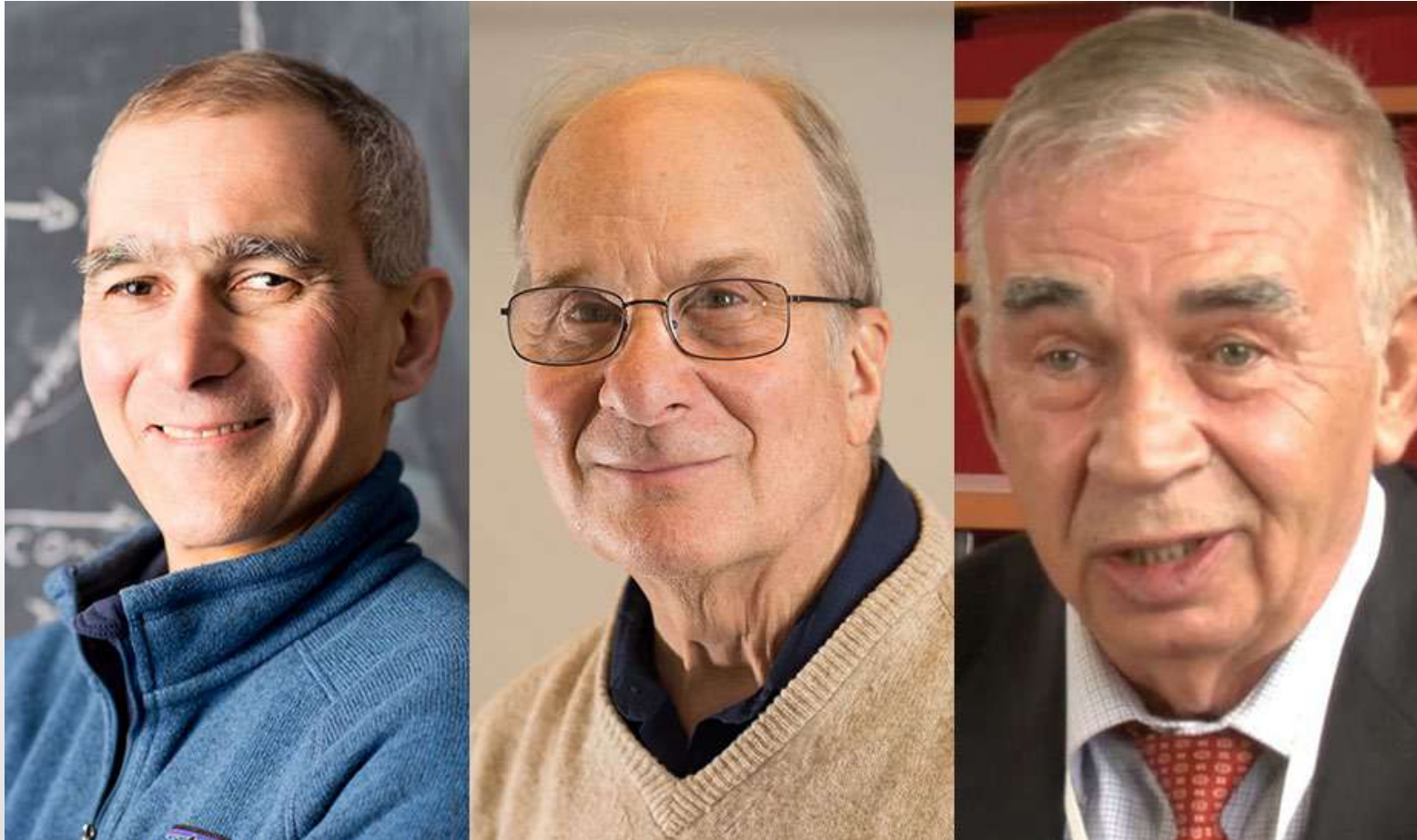


**Квантовые точки в фотонике, фотокатализе и
биофотонике:
фемтосекундная динамика экситонов и
носителей заряда в системах, проявляющих
эффект квантового ограничения.**

Надточенко В.А.

Нобелевская премия по химии 2023



Left to right: Moungi Bawendi, Louis Brus, and Alexei Ekimov.

КВАНТОВЫЕ ТОЧКИ



Cadmium yellow

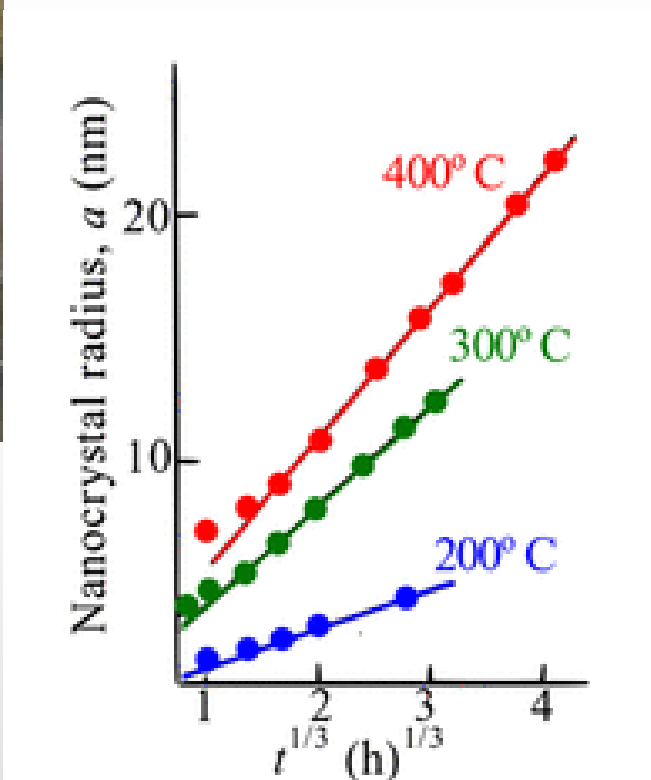
Cadmium red

Cadmium yellow ₃



ОНУЩЕНКО Алексей Аркадьевич

В 1975 окончил кафедру молекулярной физики ЛГУ им. А.А. Жданова. Сотрудник ГОИ им. С.И. Вавилова. Канд. физ.-мат. наук (1989, «Спектроскопические свойства микрокристаллической фазы гетерогенных стекол»).



КВАНТОВЫЙ РАЗМЕРНЫЙ ЭФФЕКТ В ТРЕХМЕРНЫХ МИКРОКРИСТАЛЛАХ ПОЛУПРОВОДНИКОВ

А.И. Екимов, А.А. Онущенко

CuCl

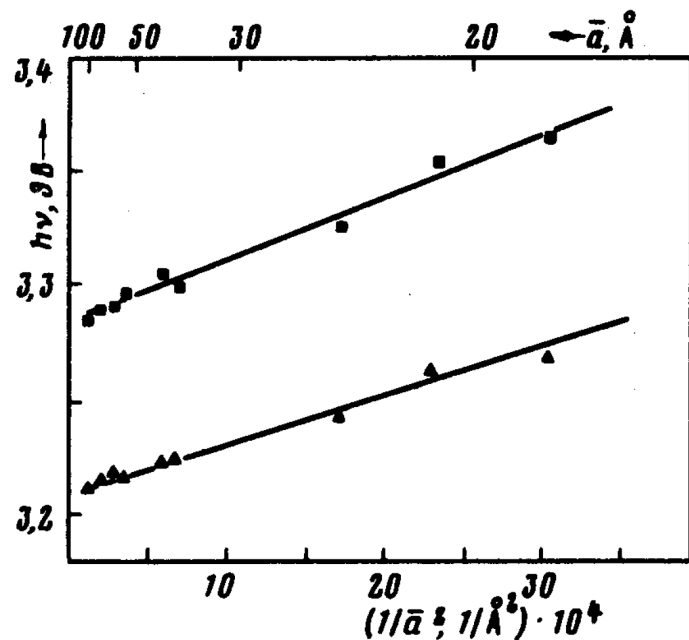
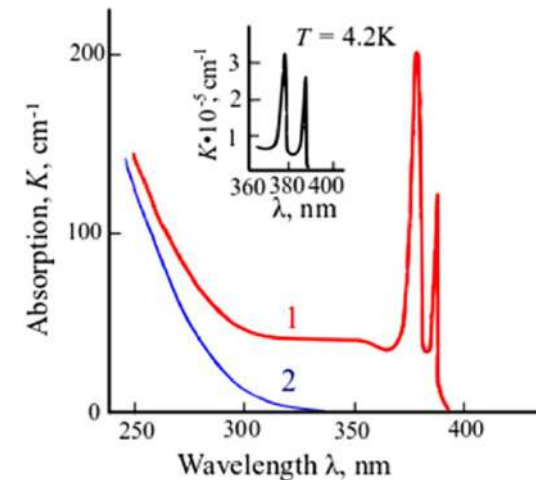


Рис. 3. Зависимость положения линий экситонного поглощения при $T = 4,2 \text{ K}$ от величины среднего радиуса микрокристаллов.



В предположении сферически симметричной потенциальной ямы бесконечной глубины, а также пренебрегая дисперсией частиц по размерам, коротковолновый сдвиг, обусловленный размерным квантованием частицы с массой m , может быть описан следующим выражением [7]

$$\Delta E = \hbar^2 \pi^2 / 2 m \bar{a}^2. \quad (2)$$

Эфрос А. Л., Эфрос А. Л.

Межзонное поглощение света в полупроводниковом шаре.

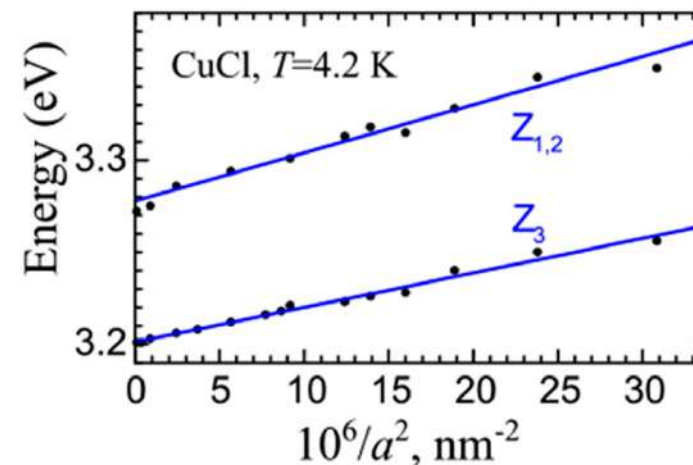
ФТП. 1982;16(7)



р. 25.09.1950

ЭФРОС Александр Львович

ЛФТИ им. А.Ф. Иоффе



$$\hbar\omega = E_g - E_{\text{ex}} + \frac{\hbar^2 \pi^2}{2Ma^2}$$



р. 11.08.1938

ЭФРОС Алексей Львович

С 1961 работал в ЛФТИ им. А.Ф. Иоффе (с 1987 – главн. науч. сотр.).

Канд. физ.-мат. наук (1962, «Квантовая теория проводимости в сильных магнитных полях»).

Д-р физ.-мат. наук (1972, «Теория сильно легированных полупроводников»).

Quantum size effects in the redox potentials, resonance Raman spectra, and electronic spectra of CdS crystallites in aqueous solution

R. Rossetti, S. Nakahara, and L. E. Brus

J. Chem. Phys. 79(2), 15 July 1983

Bell Laboratories, Murray Hill, New Jersey 07974

(Received 31 March 1983; accepted 5 May 1983)

In small crystallites there should be two major effects: (1) increased e^- and h^+ localization kinetic energies and (2) increased attractive electrostatic interaction $\langle e^2/\epsilon r \rangle$ between e^- and h^+ . The first term tends to blue shift, and the second term tends to red shift the exciton.

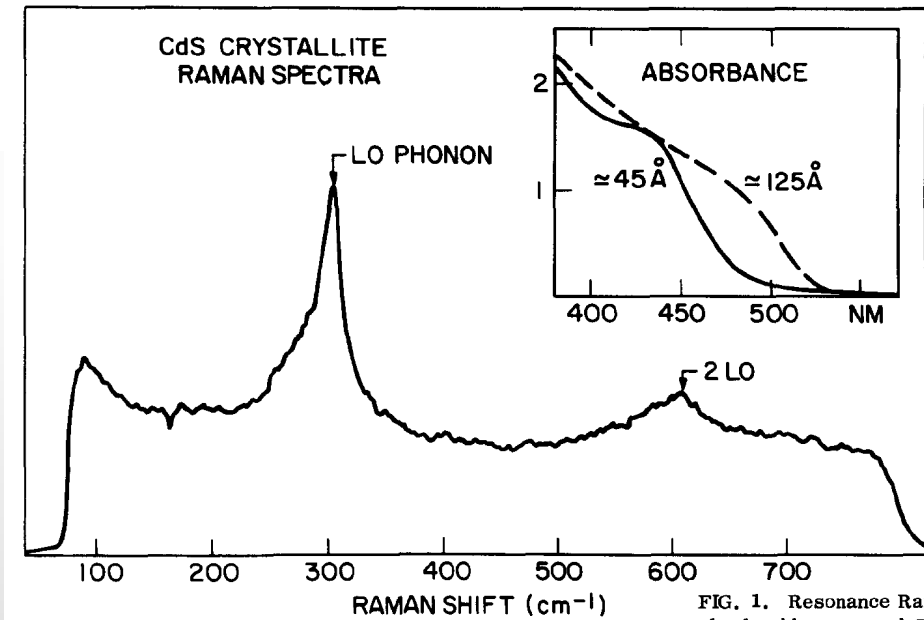
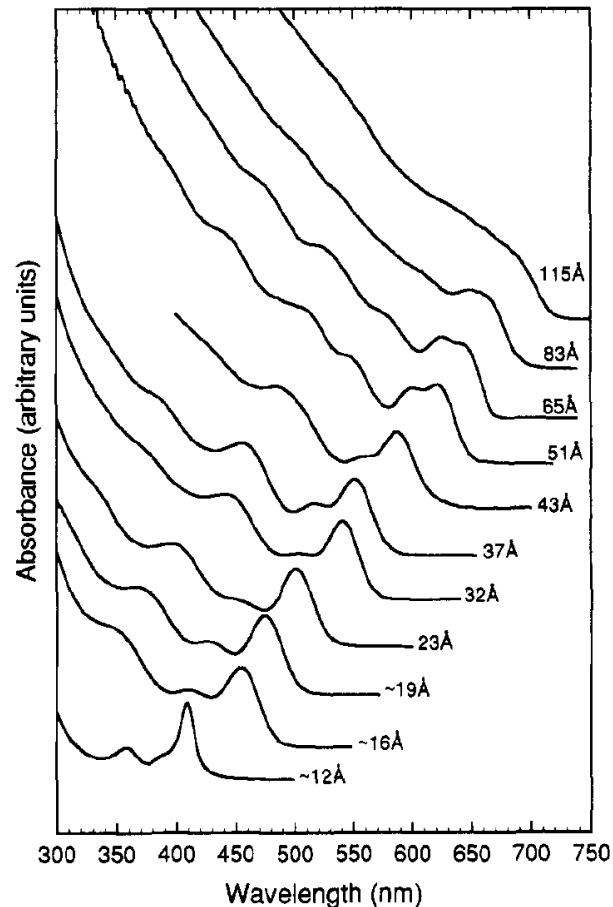


FIG. 1. Resonance Raman spectrum of a freshly prepared CdS colloid at pH7. The CdS monomer concentration is 1.55×10^{-3} M. The colloid is stabilized with 1 mgm/cc of styrene/maleic anhydride copolymer. The experimental resolution is 5 cm^{-1} ; the CdS peak has a 22 cm^{-1} (FWHM) width. An increase in Raman scattering near 100 cm^{-1} is due to water and not CdS. The insert shows the optical absorbance spectra for both a fresh colloid, and for the same colloid after aging, as described in the text.

J. Am. Chem. Soc. **1993**, *115*, 8706–8715

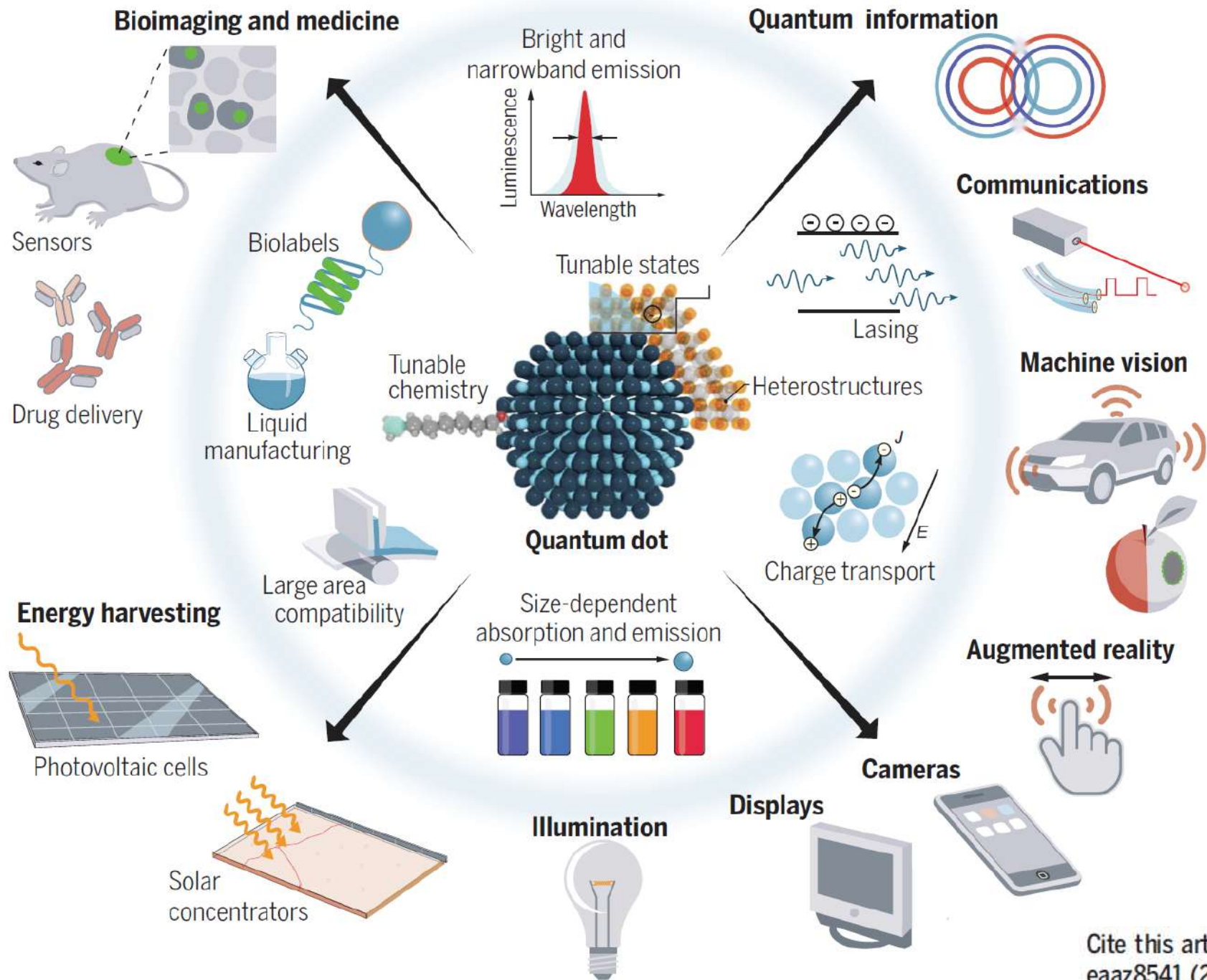
Synthesis and Characterization of Nearly Monodisperse CdE (E = S, Se, Te) Semiconductor Nanocrystallites

C. B. Murray, D. J. Norris, and M. G. Bawendi*



tributylphosphine oxide (TBPO)

tributylphosphine TBP

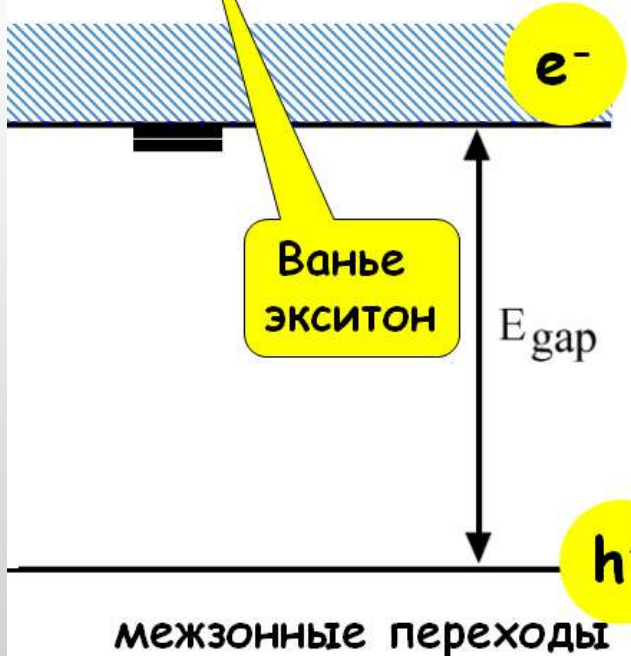
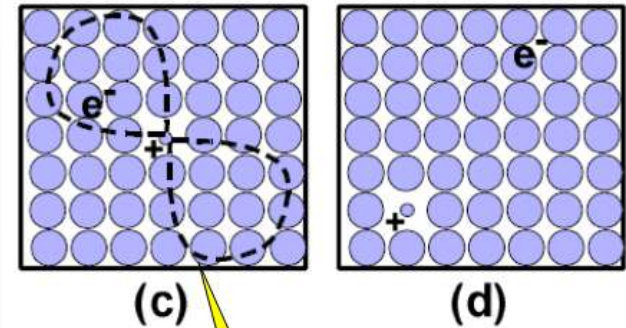


Квантовые точки.

$$\hat{H} = \frac{-\hbar^2}{2m_e^*} \nabla_e^2 + \frac{-\hbar^2}{2m_h^*} \nabla_h^2 - \frac{e^2}{\epsilon|r_e - r_h|}$$

$$\hat{H} = -\frac{\hbar^2}{2\mu} \nabla^2 - \frac{e^2}{4\pi\epsilon_0\epsilon r},$$

$$a_B = a_0\epsilon \left(\frac{m_0}{\mu} \right)$$



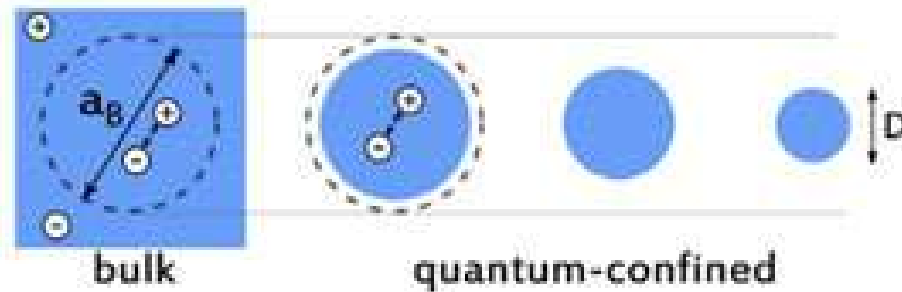
приведенная масса
электрона m_e^* и
дырки m_h^*

Диэлектрическая
проницаемость

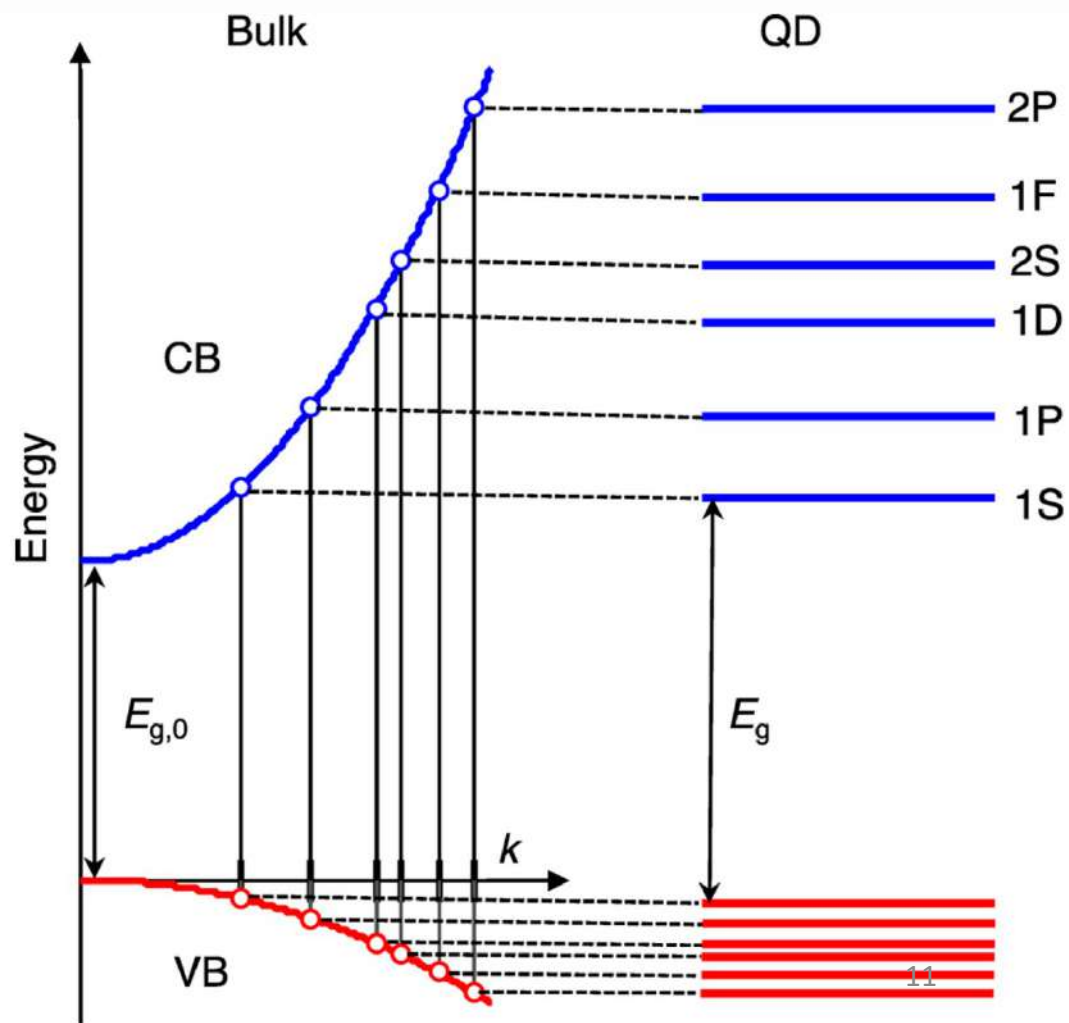
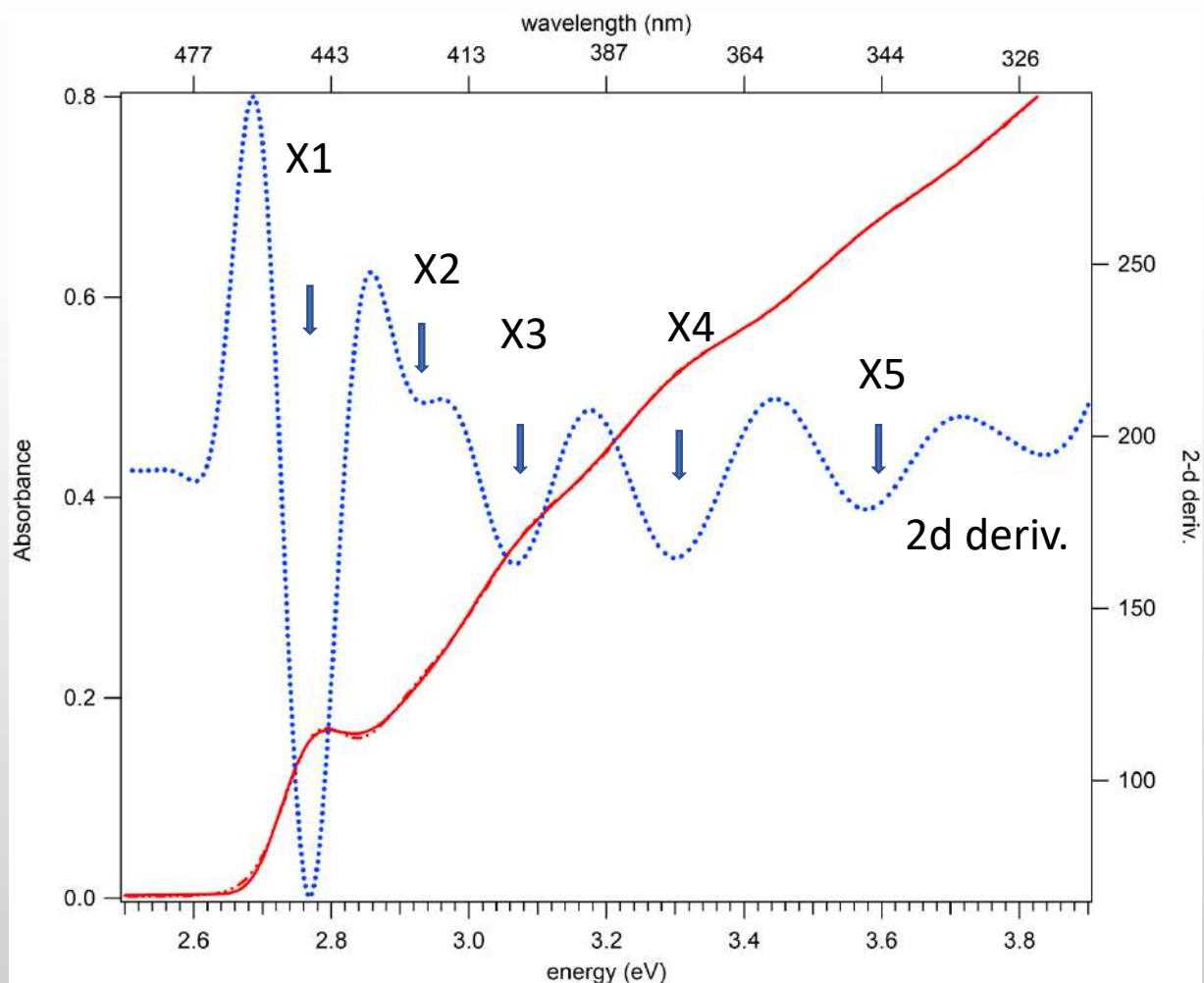
$$\mu = m_e^* \cdot m_h^* / (m_e^* + m_h^*)$$

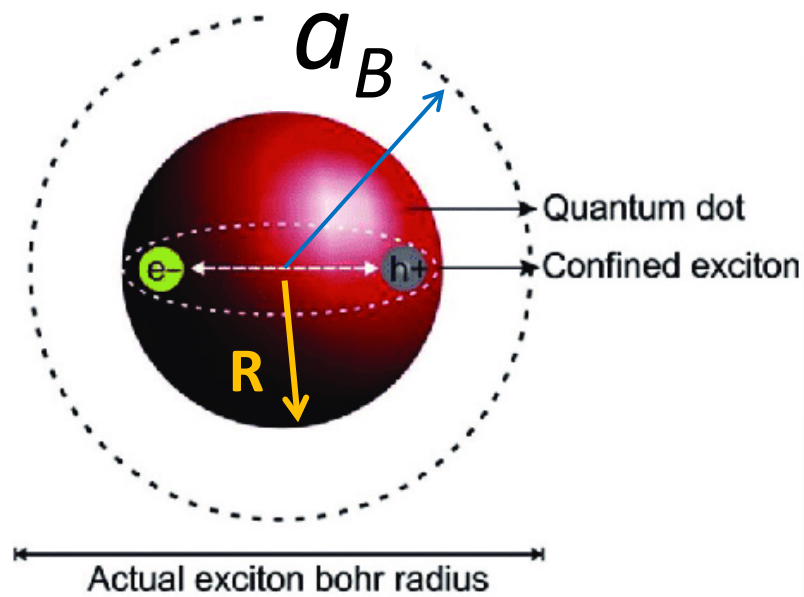
$$Ry^* = 13.6 \text{ eV} \frac{\mu}{\epsilon^2}$$

$$E_g = E_{g,bulk} + \frac{\hbar^2 \pi^2}{2R^2} \left(\frac{1}{m_e^*} + \frac{1}{m_h^*} \right) - \frac{1.8e^2}{\epsilon R}$$



ZnCdS





$$a_B = a_0 \epsilon \left(\frac{m_0}{\mu} \right)$$

Compound	Band gap (eV)	r_B (nm)
InP	1.35	15
InAs	0.354	34
InSb	0.17	65.6
CdS	2.43	5.8
CdSe	2.87	5.3
CdTe	1.5	7.3
ZnSe	2.67	4.5

Crystal	m_e^*/m_e	m_h^*/m_e
GaN	0.13	0.8
ZnSe	0.13	0.65
CdS	0.19	0.8
ZnTe	0.12	0.5
CdSe	0.06	0.62
CdTe	0.05	0.46
GaAs	0.07	0.2
InP	0.08	0.3
GaSb	0.04	0.1
InSb	0.01	0.25
Sb ₂ S ₃	1.035	1.843

TiO₂

~3.2 eV

3.2 nm

Квантовые точки.

II - VI

CdTe, CdSe, CdS, ZnS, ZnSe, ZnTe

III - V

InP, InAs

I-III-VI₂

CuInS₂, AgInS₂

IV-VI

PbSe, PbS, PbTe

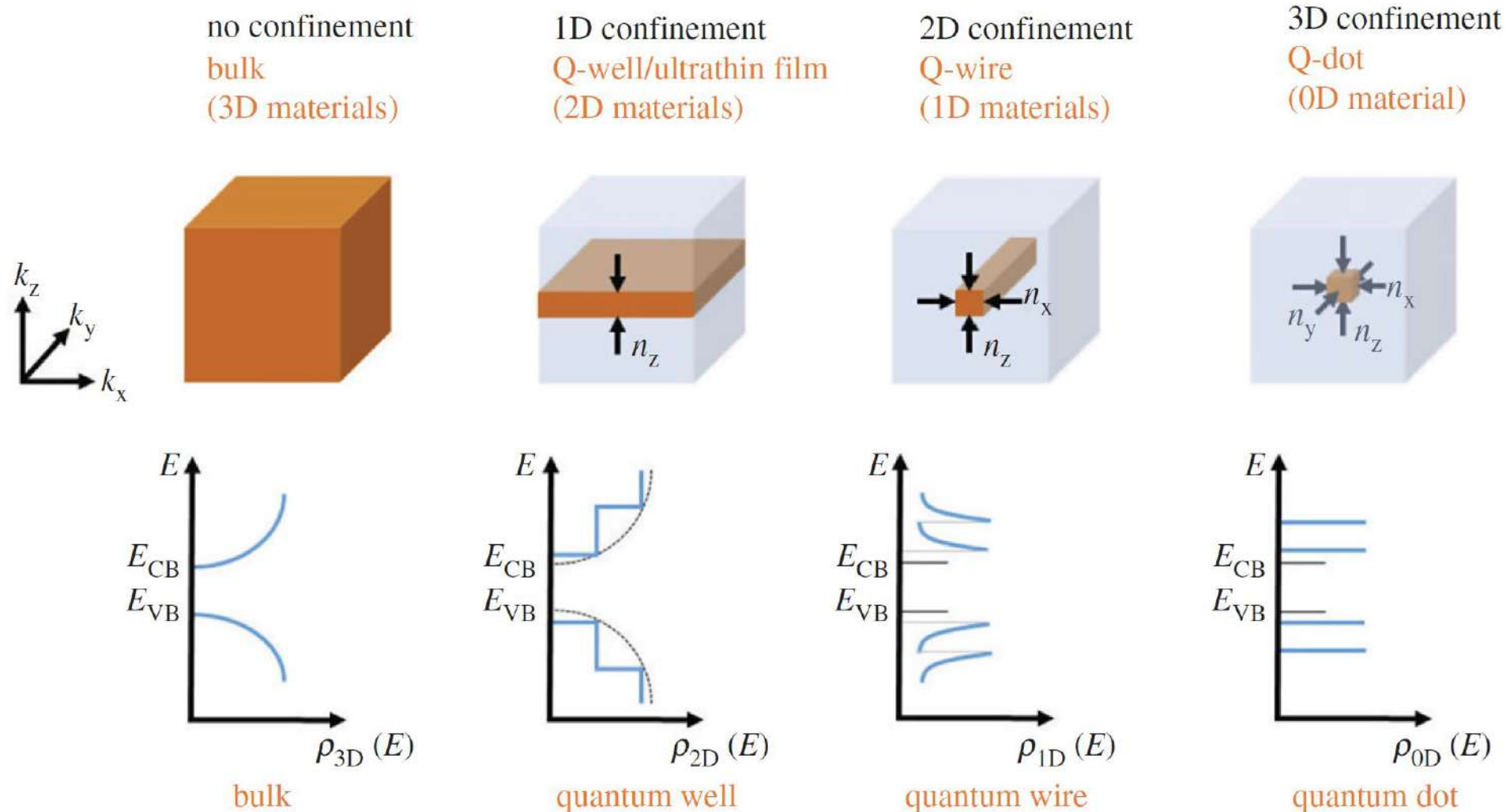
IV

Si, C, Ge

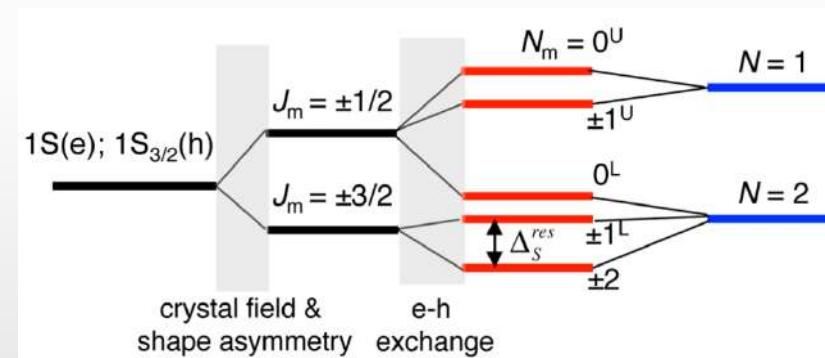
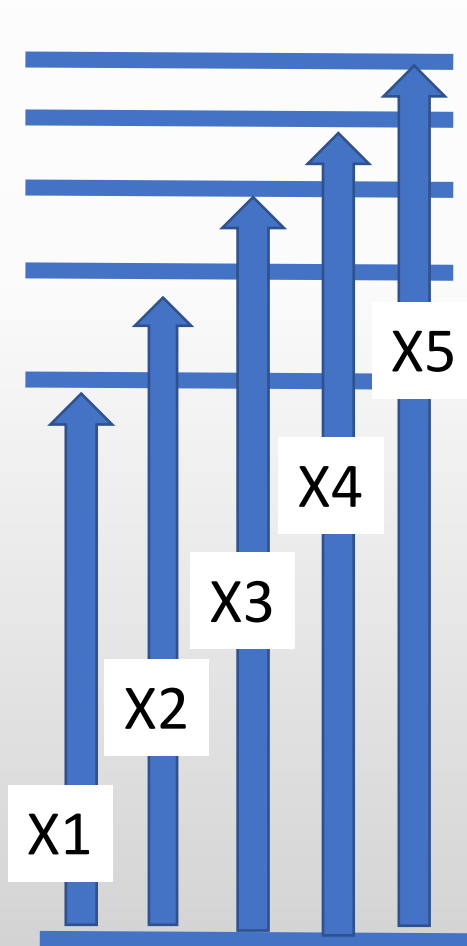
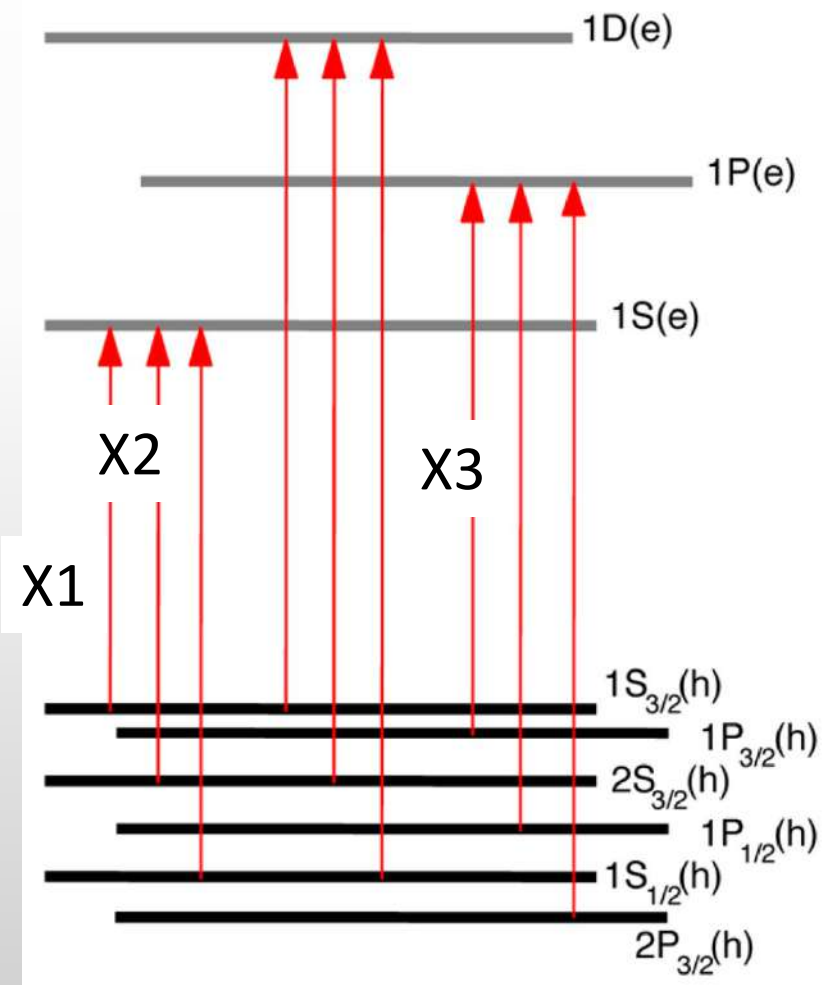
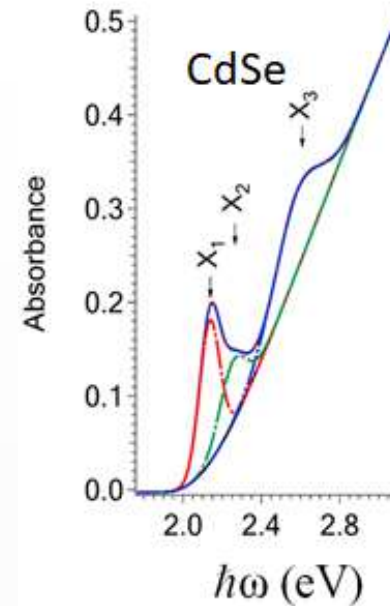
ПЕРИОДИЧЕСКАЯ СИСТЕМА ХИМИЧЕСКИХ ЭЛЕМЕНТОВ Д. И. МЕНДЕЛЕЕВА

ПЕРИОДЫ	ГРУППЫ ЭЛЕМЕНТОВ																VIII	B									
	A	I	II	III	IV	V	VI	VII	VI	V	IV	III	II	I	A	II			III	IV	V	VI	VII	VIII	IX	X	XI
1	(H)																										
2	Li Литий	Be Бериллий	B Бор	C Углерод	N Азот	O Кислород	F Фтор	Ne Неон																			
3	Na Натрий	Mg Магний	Al Алюминий	Si Кремний	P Фосфор	S Сера	Cl Хлор	Ar Аргон																			
4	K Калий	Ca Кальций	Sc Скандий	Ti Титан	V Ванадий	Cr Хром	Mn Марганец	Fe Железо	Co Кобальт	Ni Никель																	
5	Rb Рубидий	Sr Стронций	Y Иттрий	Zr Цирконий	Nb Ниобий	Mo Молибден	Tc Технеций	Ru Рутений	Rh Родий	Pd Палладий																	
6	Cs Цезий	Ba Барий	La* Лантан	Hf Гафний	Ta Тантал	W Вольфрам	Re Рений	Os Осмий	Ir Иридий	Pt Платина																	
7	Fr Франций	Ra Радий	Ac** Актиний	Rf Рифторбий	Db Дубний	Sg Сиборгий	Bh Борий	Hs Хассий	Mt Мейтнерий																		
	R ₂ O		RO	R ₂ O ₃	RO ₂	R ₂ O ₅	RH ₃	RH ₂	RH																		
ЛАНТАНОИДЫ*	Ce Церий	Pr Прометий	Nd Неодим	Pm Прометий	Sm Самарий	Eu Европий	Gd Гадолиний	Tb Тербий	Dy Диспрозий	Ho Гольмий	Er Ербий	Tm Туллий	Yb Йттербий	Lu Лютеций													
АКТИНОИДЫ**	Th Торий	Pa Протактиний	U Уран	Np Нептуний	Pu Плутоний	Am Америций	Cm Курчиум	Bk Берклий	Cf Калифорний	Es Эйнштейний	Fm Фермиум	Md Мейтнерий	No Нобелий	Lr Лоренций													

Квантово-размерные эффекты: плотность состояний $\rho(E) = dN/dE$



Представление энергетических уровней в квантовых точках: оптические переходы.



Теоретические модели КТ

particle-in-a-sphere (PIS)

Brus, L. E. J. Chem. Phys. 1983.

Brus, L. E. J. Chem. Phys. 1984

multiband effective mass approximation approach (EMA)

Norris, D. J.; Bawendi, M. G. Phys. Rev. B 1996

Norris, D. J. et al. Phys. Rev. B 1996,

Efros, A. L.; Rosen, M. Annu. Rev. Mater. Sci. 2000, 30, 475–521.

Efros, A. L.; et al. M. Phys. Rev. B 1996,

Ekimov, A. I.; et al. Opt. Soc. Am. B 1993,.

empirical pseudopotential method (EPM)

Franceschetti, A.; Zunger, A. Phys. Rev. Lett. 1997,

Franceschetti, A. et al. Phys. Rev. B 1998,.

Franceschetti, A. et al. A. Phys. Rev. B 1999,

Shumway, J.; et al. A. Los Alamos National Laboratory, Preprint Archive, Condensed Matter; 2000; pp 115, arXiv: cond-mat/0012050.

Califano, M.; et al. Nano Lett. 2003, .

Wang, L.-W.; et al. A. Phys. Rev. Lett. 2003, 91,

Califano, M.; et al. A. Nano Lett. 2005,

An, J. M.; et al. J. Chem. Phys. 2008

Wang, L.-W.; Zunger, A. J. Phys. Chem. B 1998

ab initio

Prezhdo, O. V. Acc. Chem. Res. 2009

Madrid, A. B.; et al. ACS Nano 2009

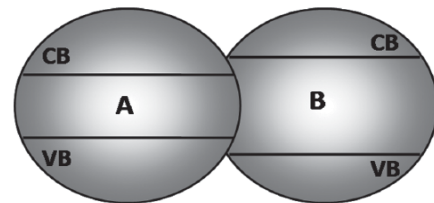
Kilina, S. V.; et al. ACS Nano 2009

Bao, H.; et al. Phys. Rev. B 2009

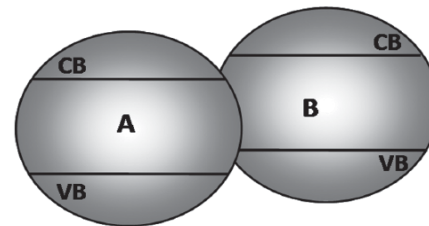
Prezhdo, O. V. Chem. Phys. Lett. 2008.

Kilina, S. V. J. Phys. Chem. C 2007.

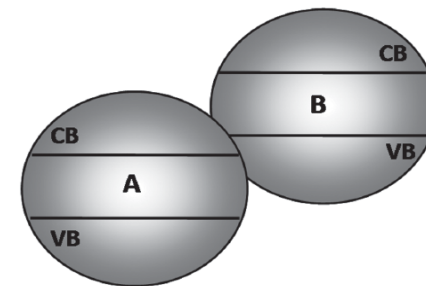
Янус точки



type I

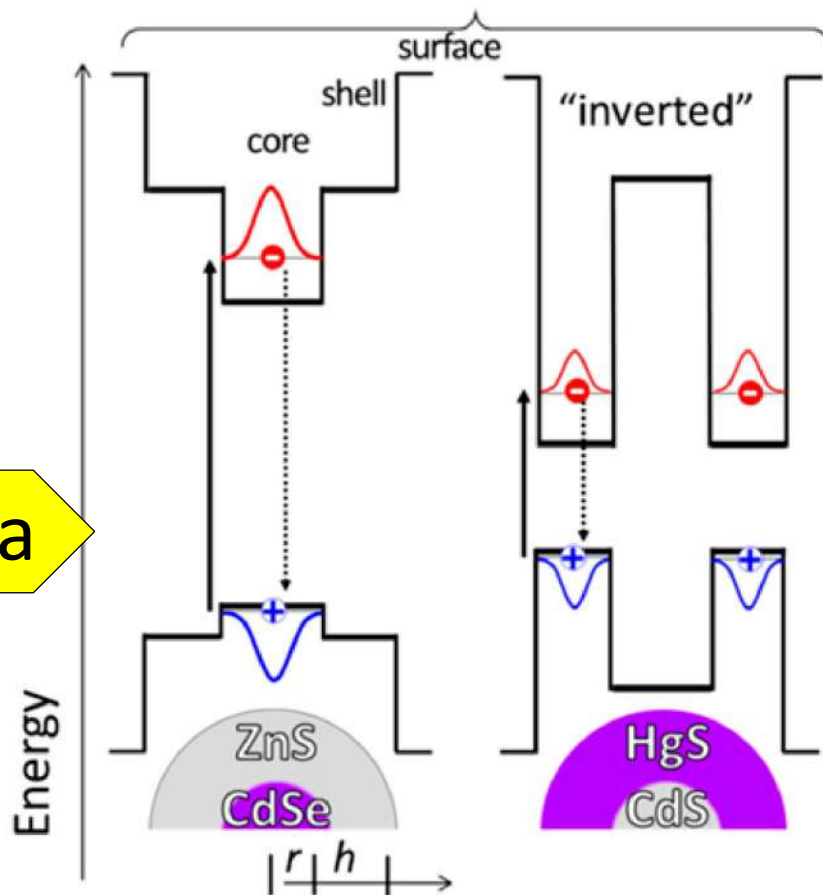


type II

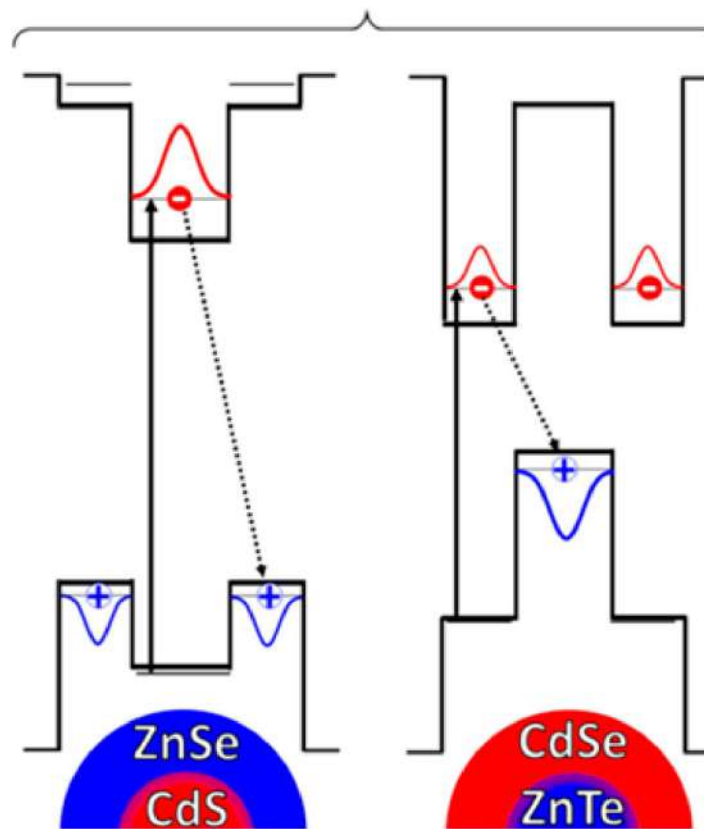


type III

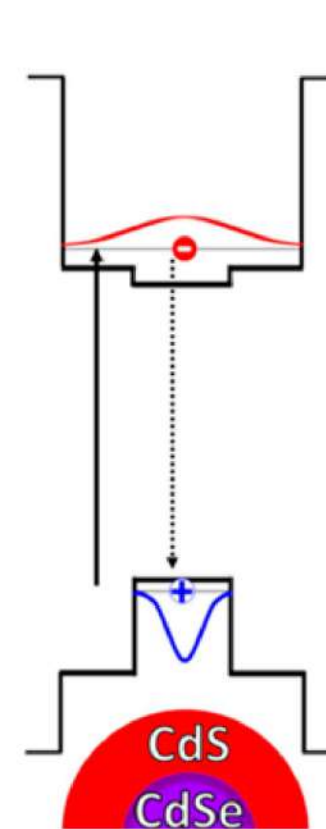
a Type I



b Type II



c quasi-Type II



Ядро/Оболочка

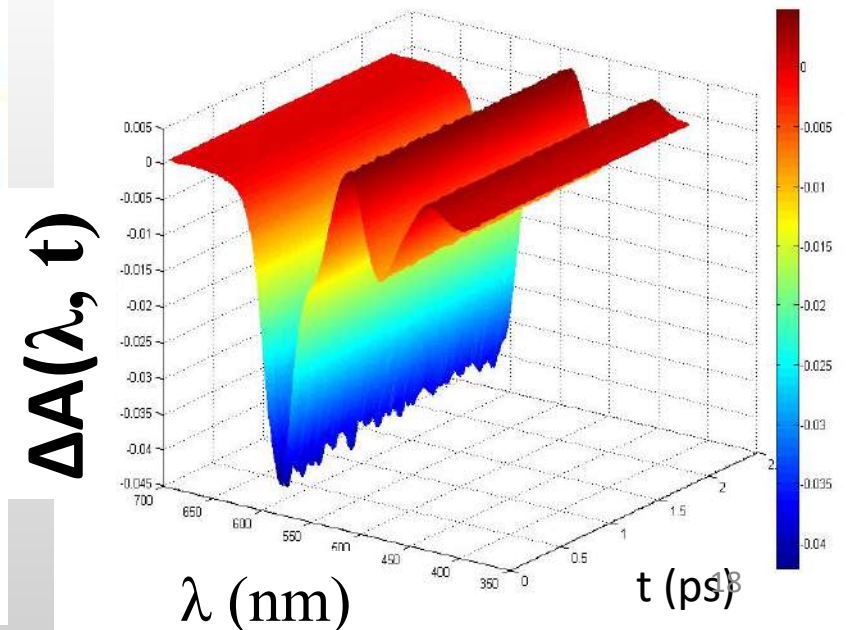
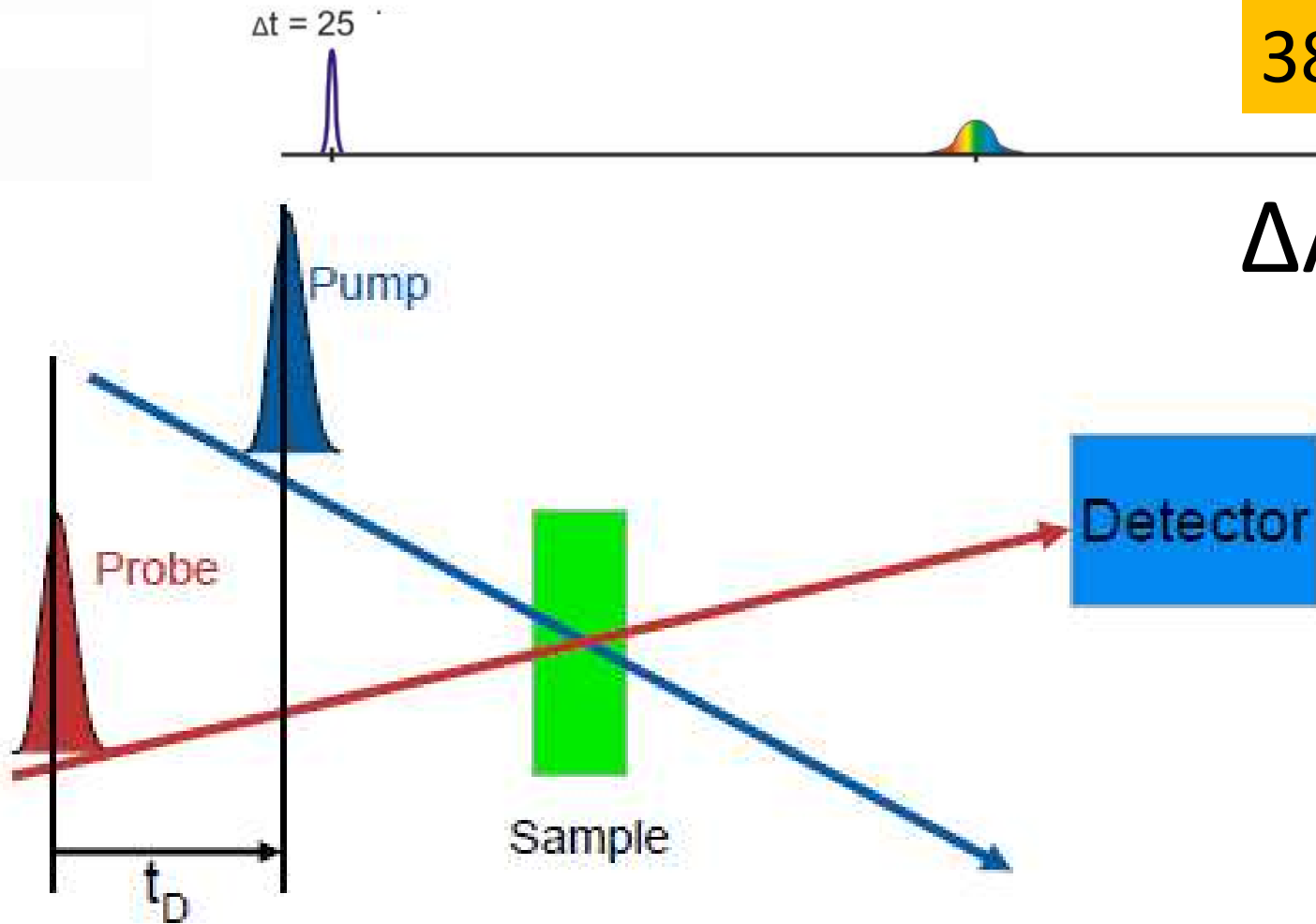
Фемтосекундная спектроскопия: pump-probe spectroscopy

Pump pulse $\sim 10\text{-}30$ fs

Probe pulse is white supercontinuum

380-1000 nm

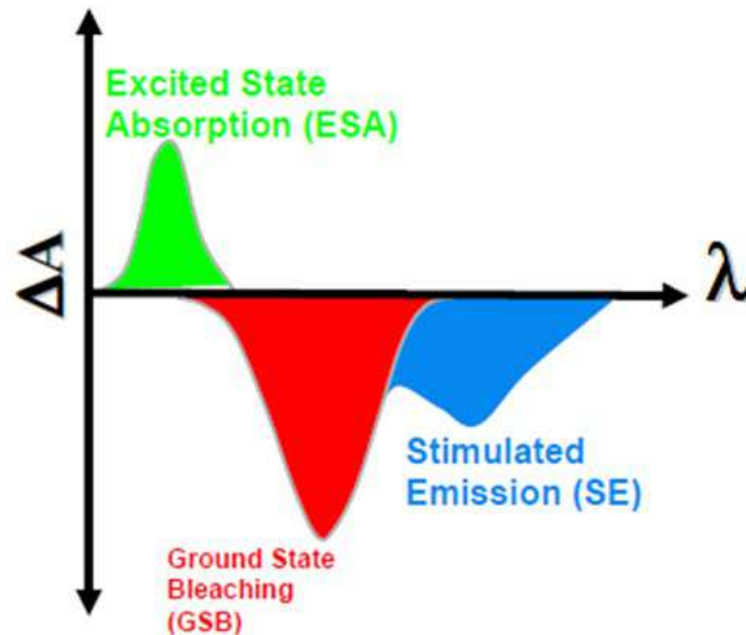
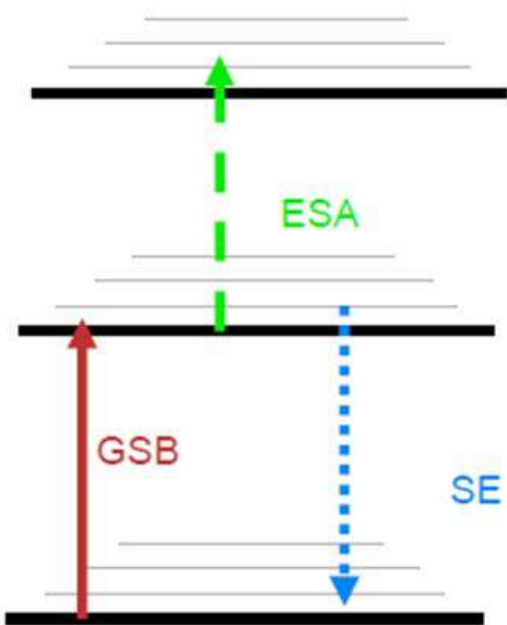
$$\Delta A(\lambda, t) = A(\lambda, t) - A_0$$



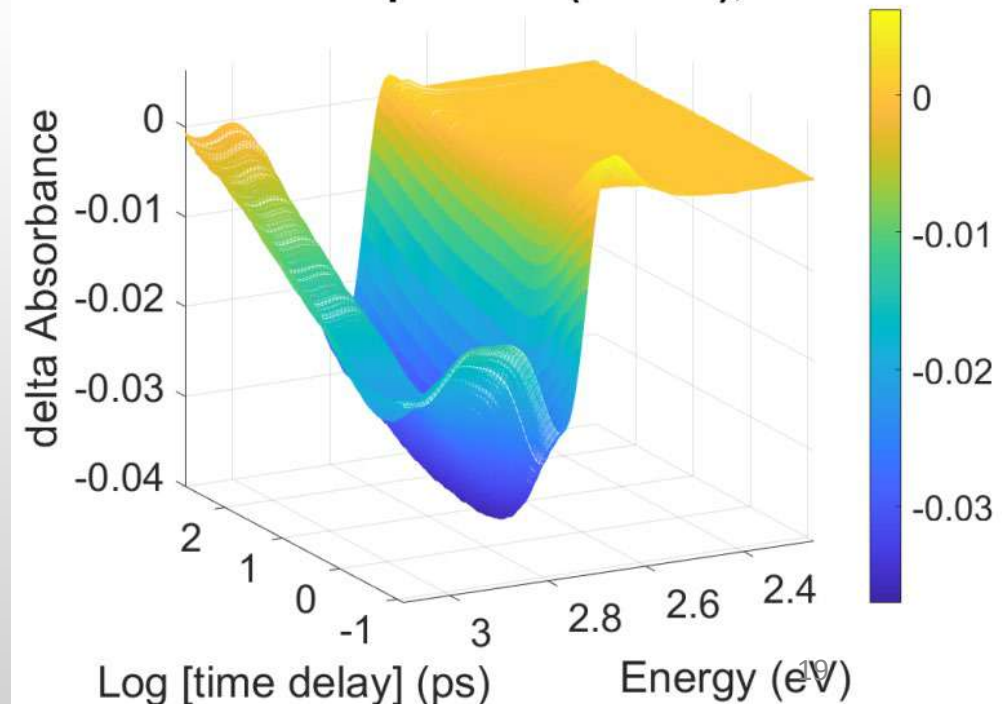
Transient absorption spectra Дифференциальные спектры

$$\Delta A(\lambda, t) = A(\lambda, t) - A(\lambda, t = -\infty)$$

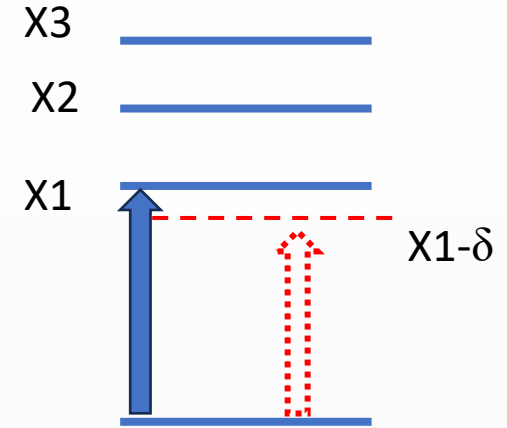
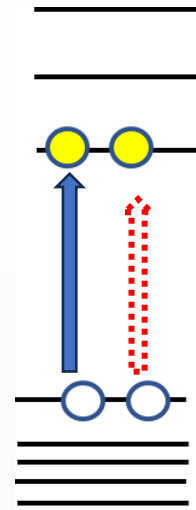
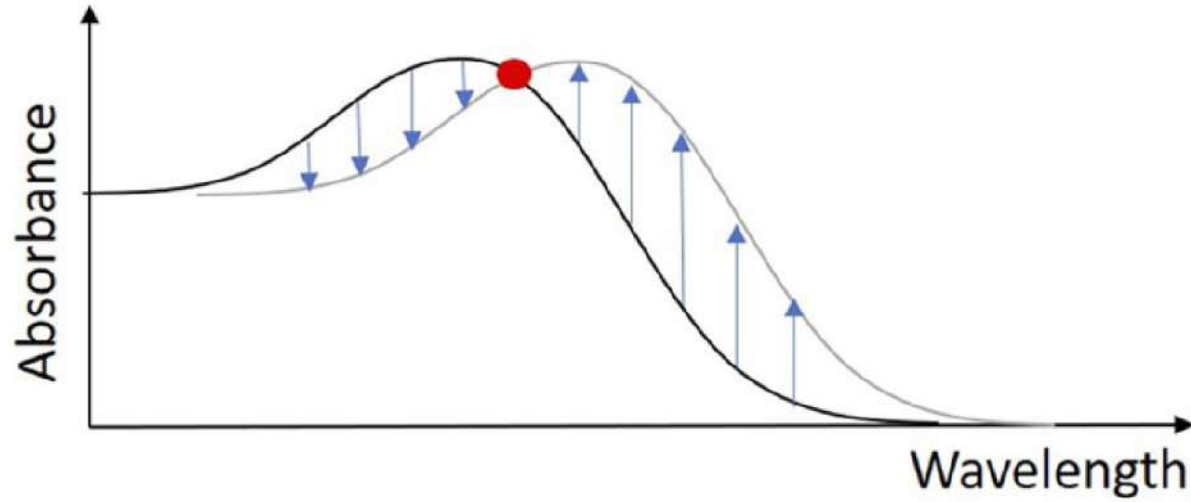
$\Delta A = \Delta A(t, \lambda)$ Difference between the sample absorption with and without pump pulse



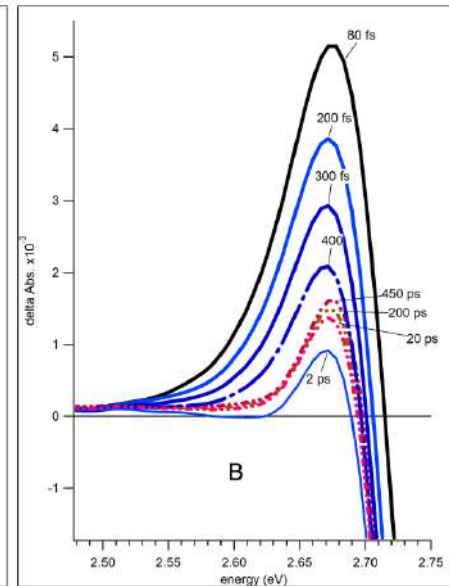
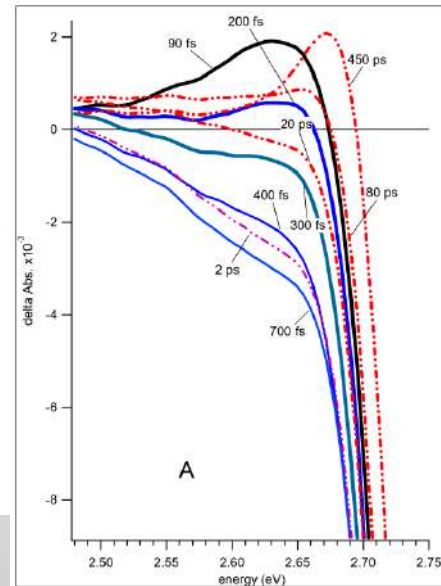
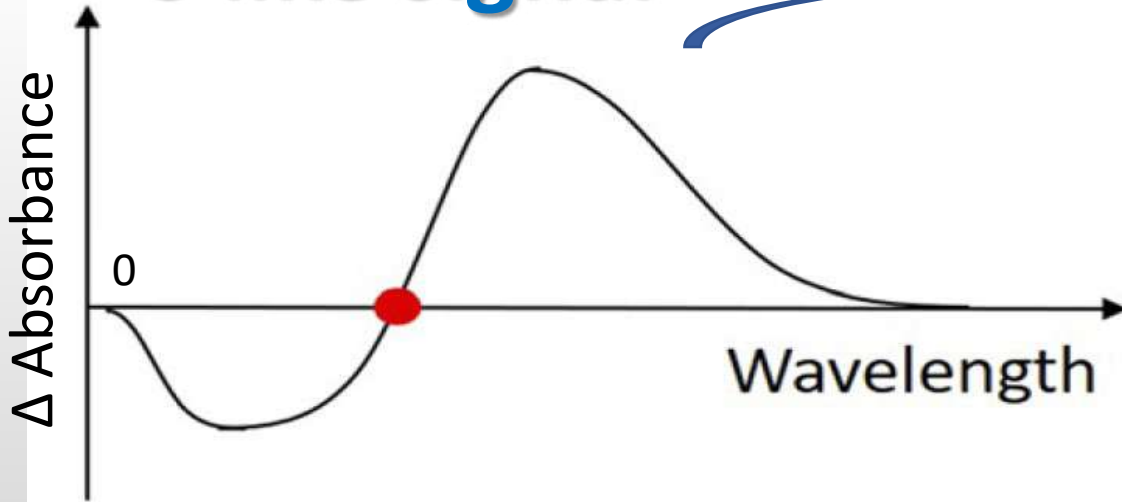
ZnCdS. Pump: 3.44 eV (360 nm); 100 nJ



Biexciton shift / Stark shift

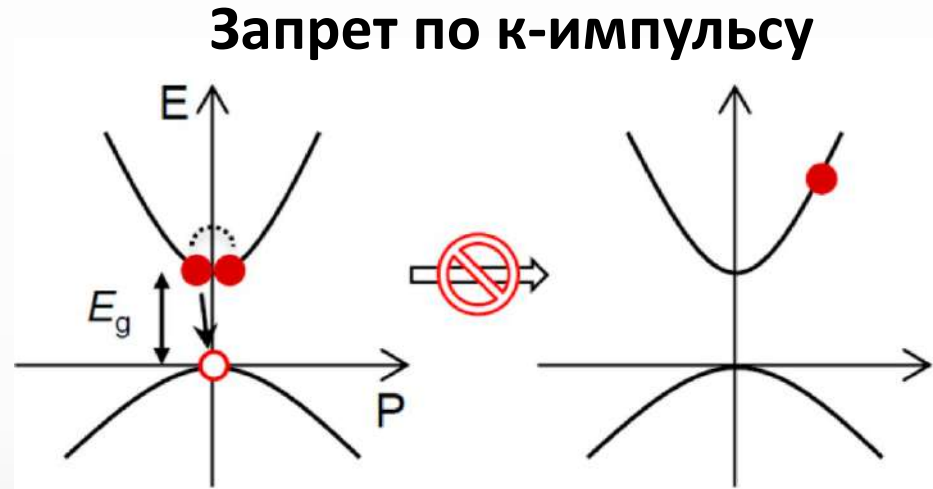


S like signal

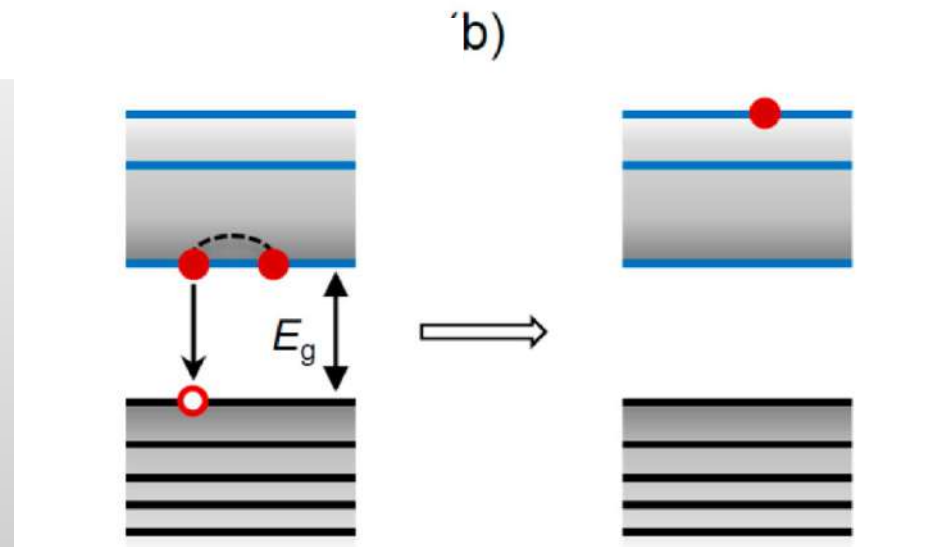


ОЖЕ РЕКОМБИНАЦИЯ ГЕНЕРАЦИЯ ГОРЯЧЕГО ЭЛЕКТРОНА/ДЫРКИ

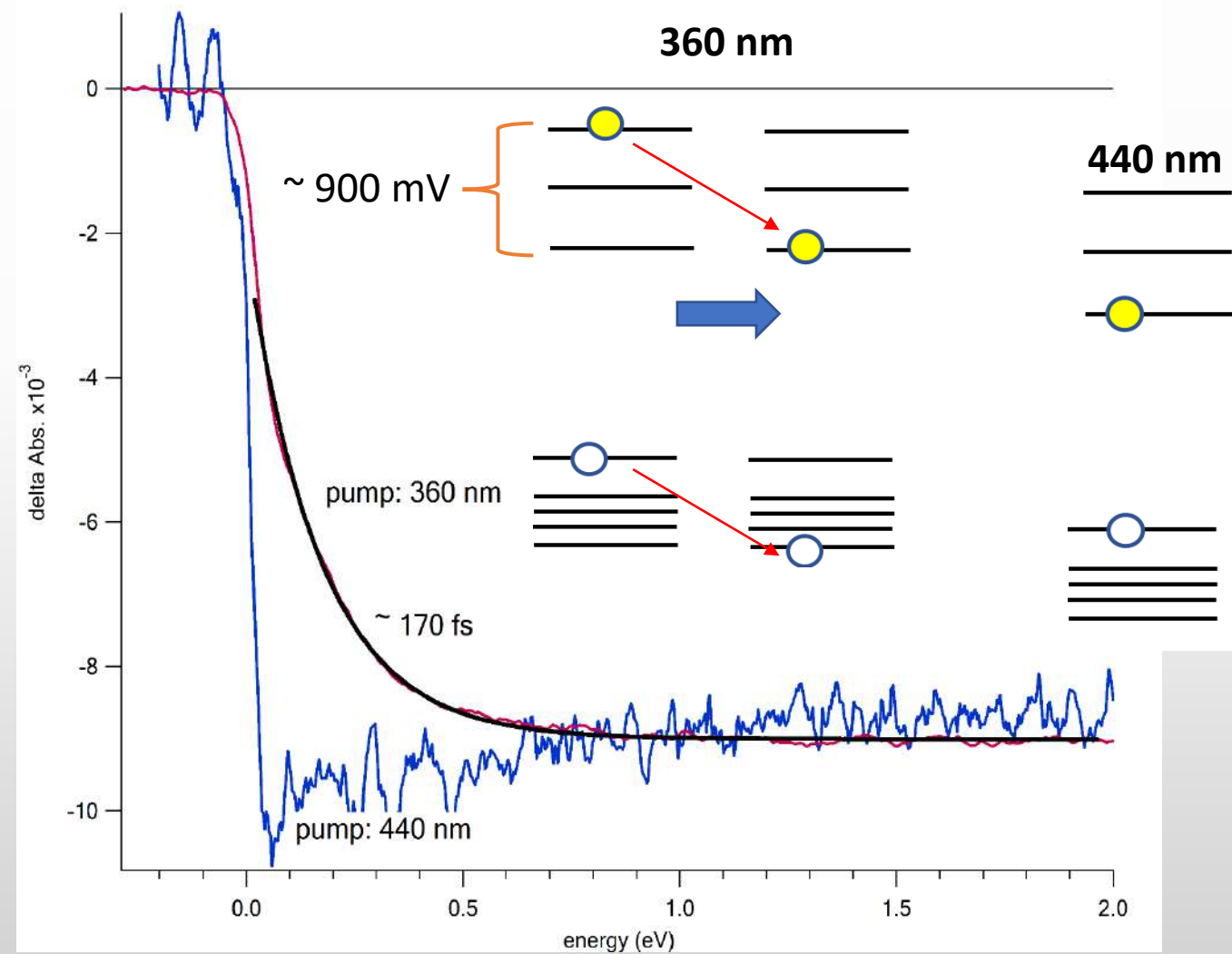
ОБЪЕМНЫЙ ПОЛУПРОВОДНИК



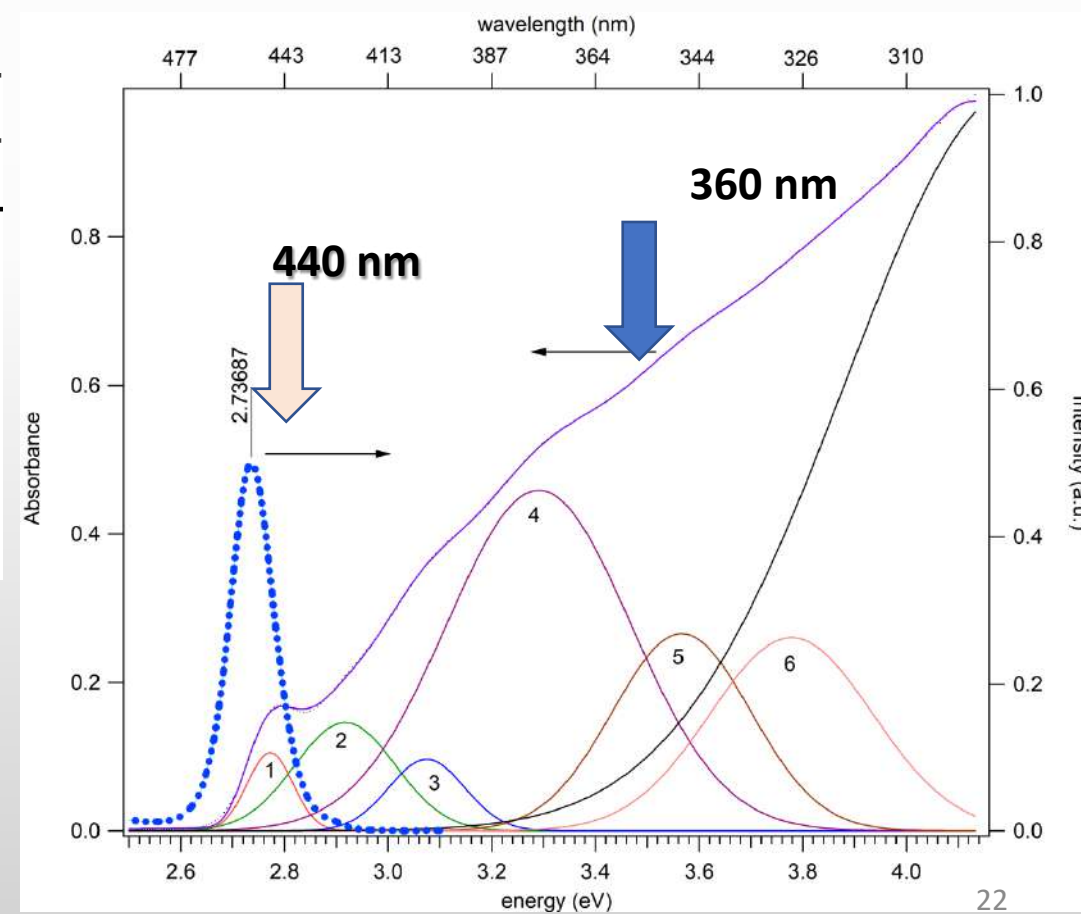
КВАНТОВАЯ ТОЧКА



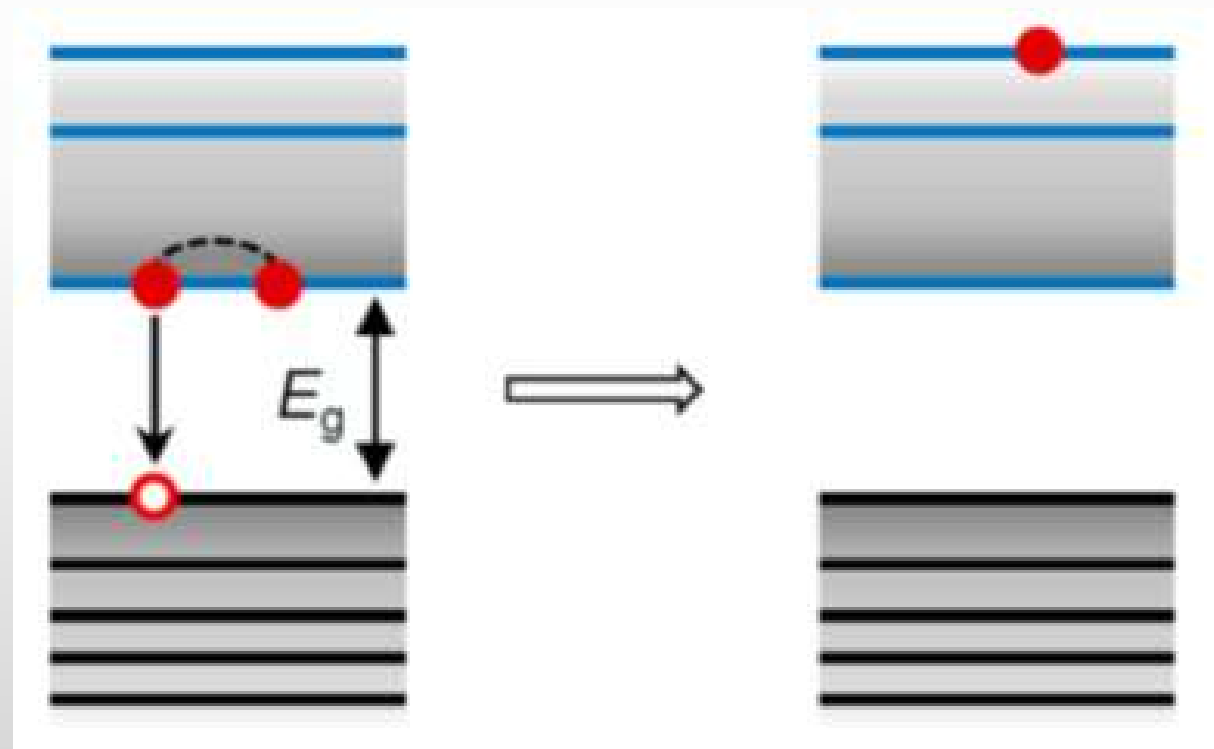
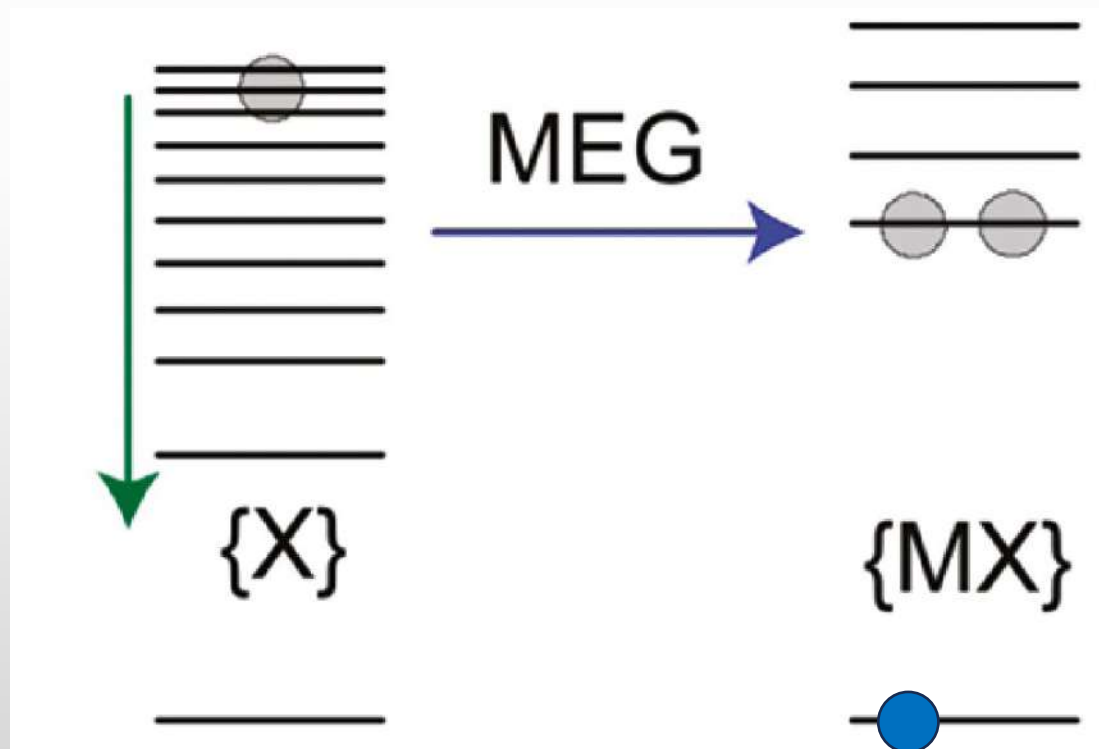
Релаксация горячего электрона



ZnCdS

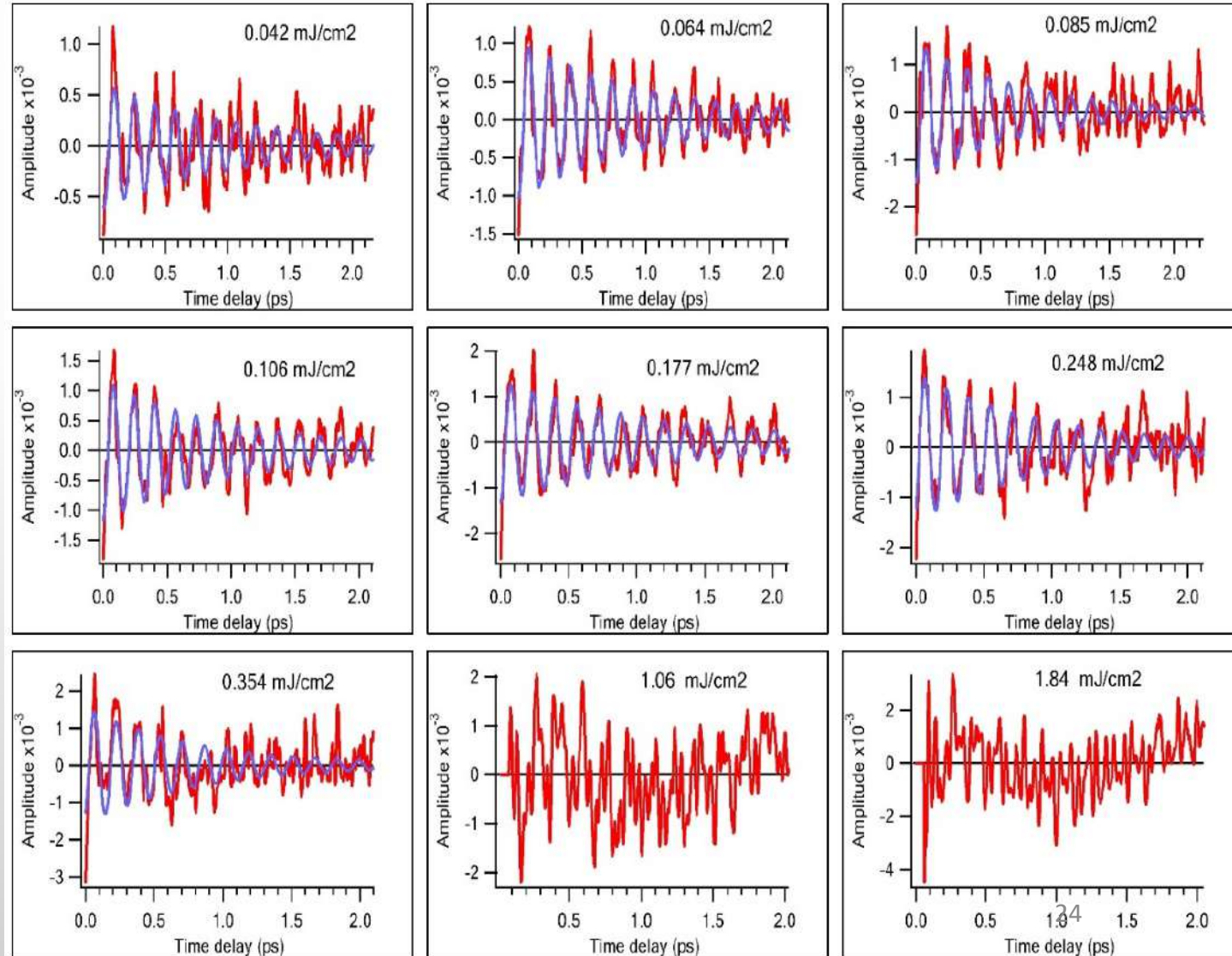
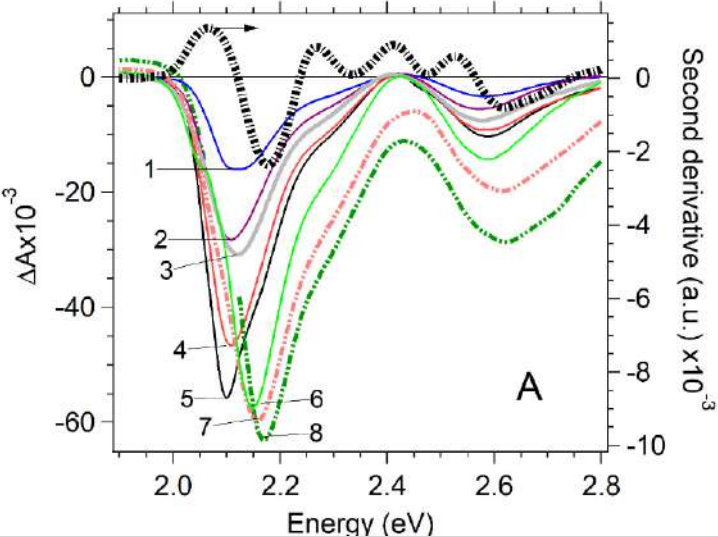
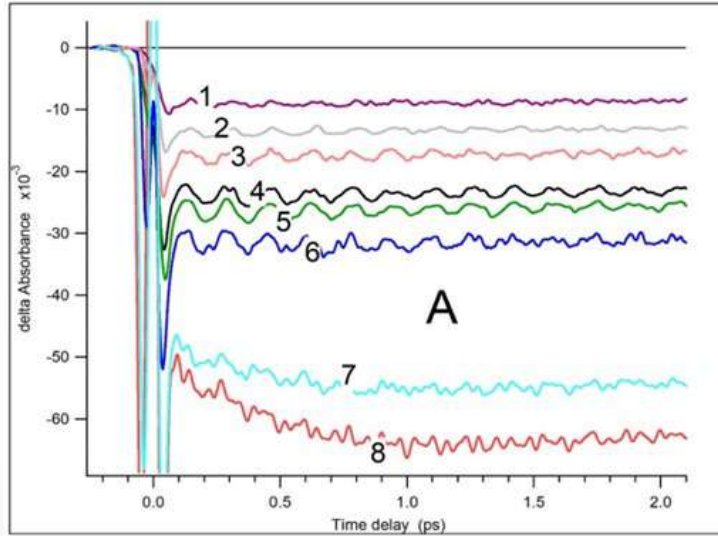


РЕЛАКСАЦИЯ ГОРЯЧЕГО ЭКСИТОНА ОЖЕ ПРОЦЕСС: ГЕНЕРАЦИЯ МУЛЬТИЭКСИТОНОВ

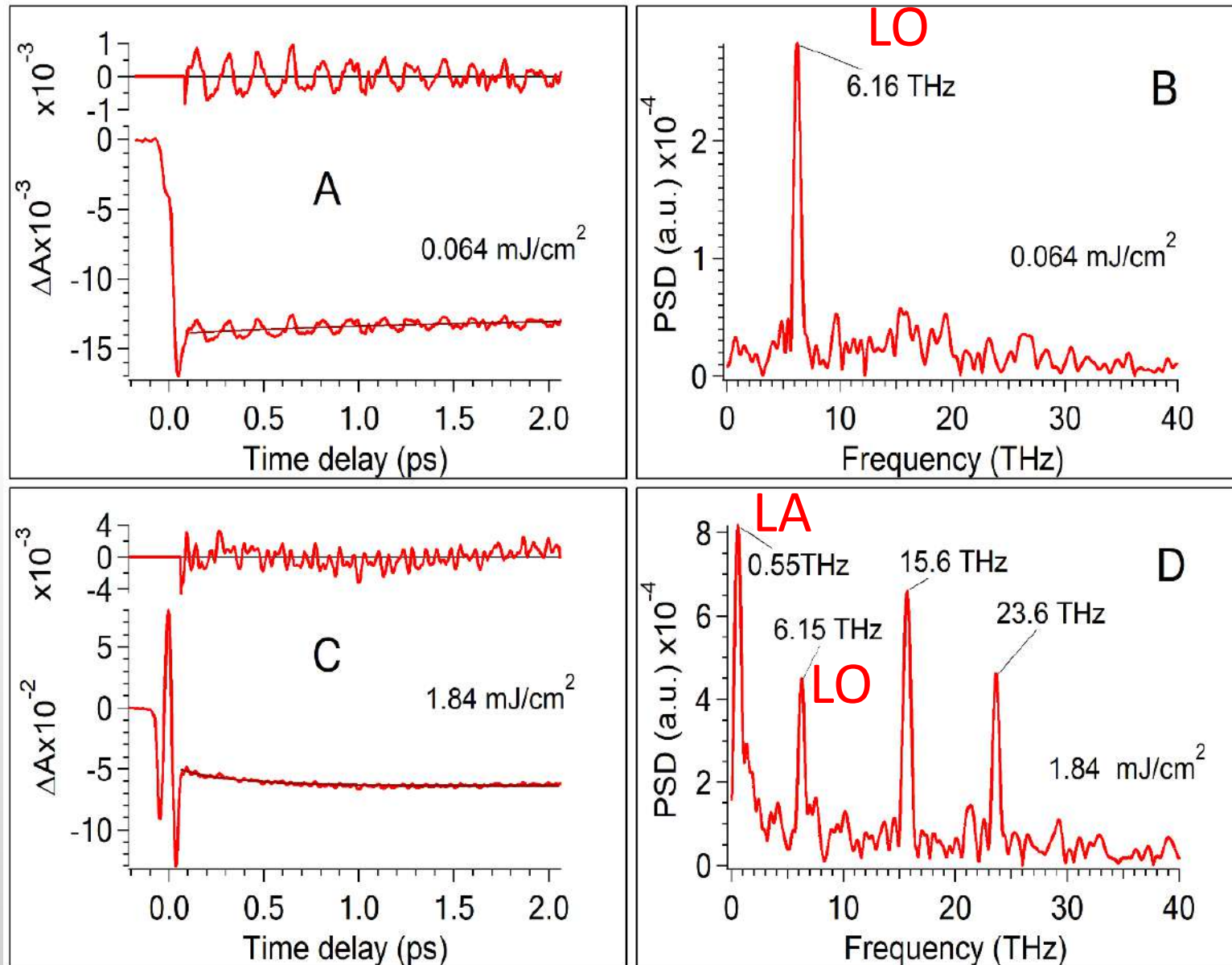


CdSe QDs:

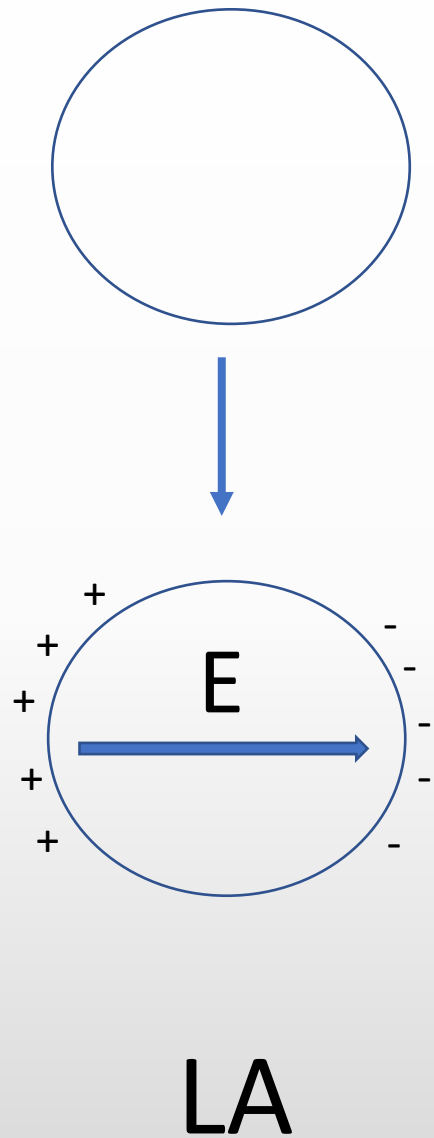
когерентные волновые пакеты как функция энергии возмущения.



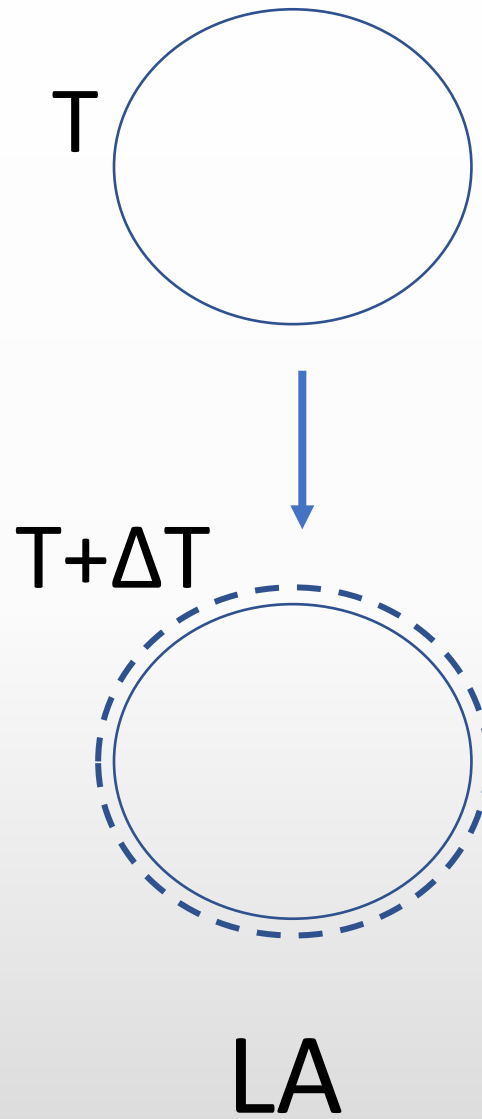
FFT спектры



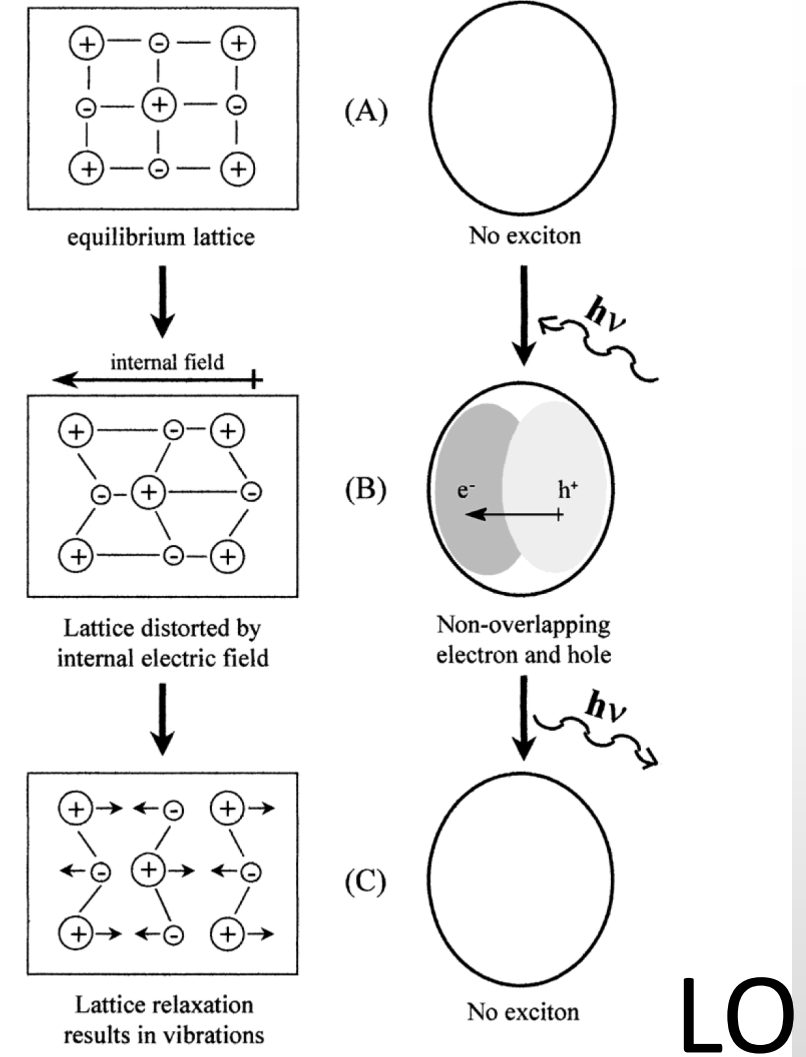
Piezoelectric screening



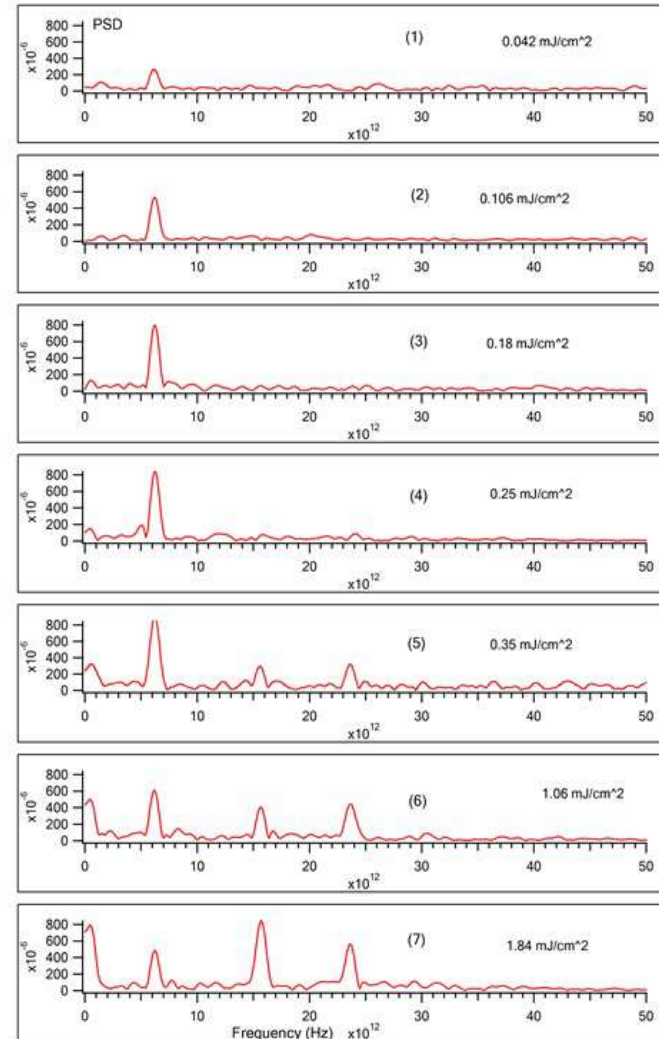
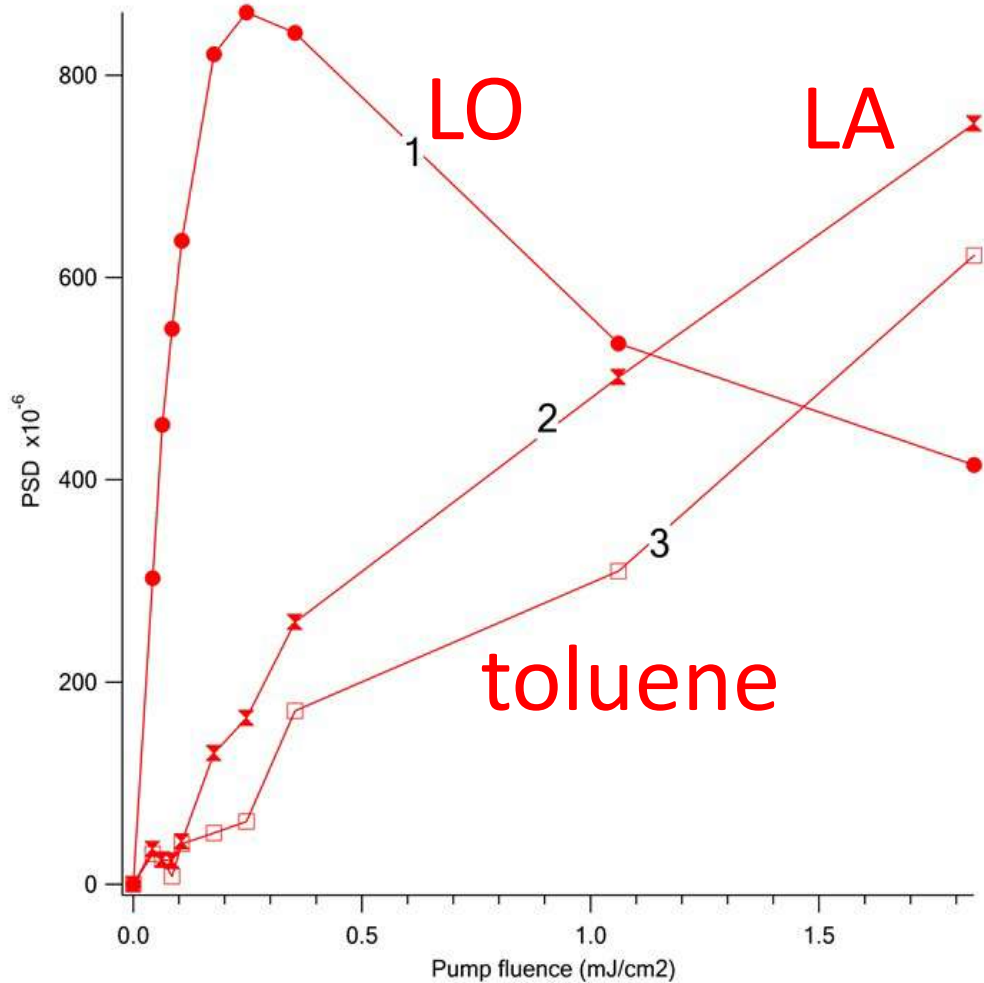
Thermoelastic effect



Frohlich mechanism

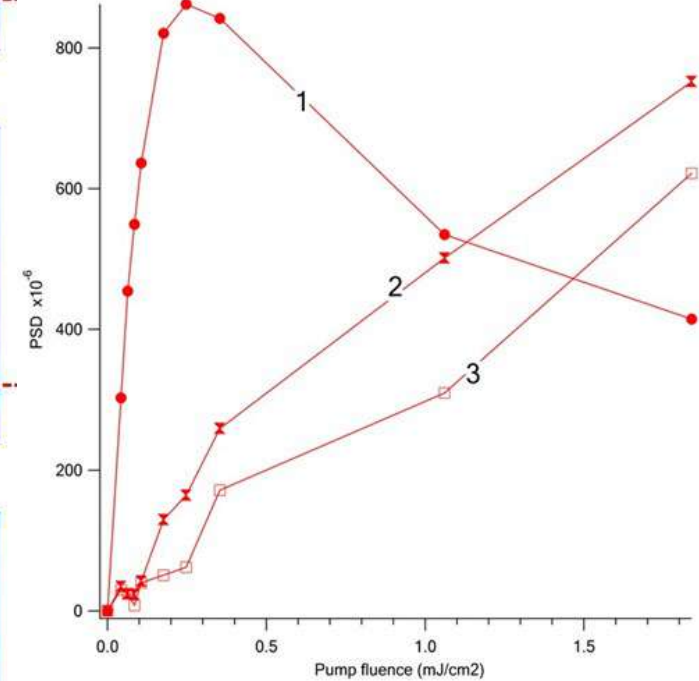
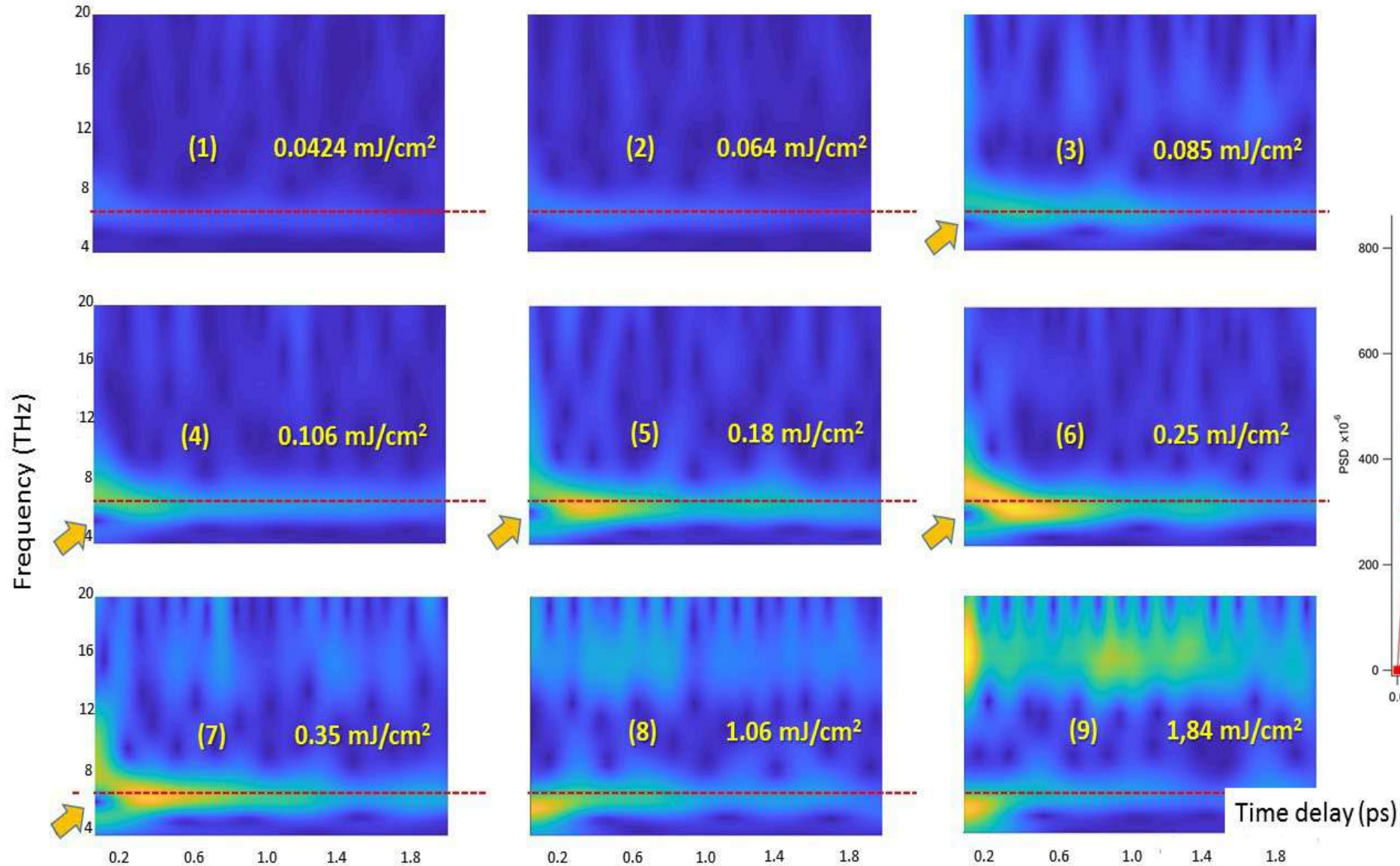


Амплитуда LO фонона относительно энергии импульса возбуждени

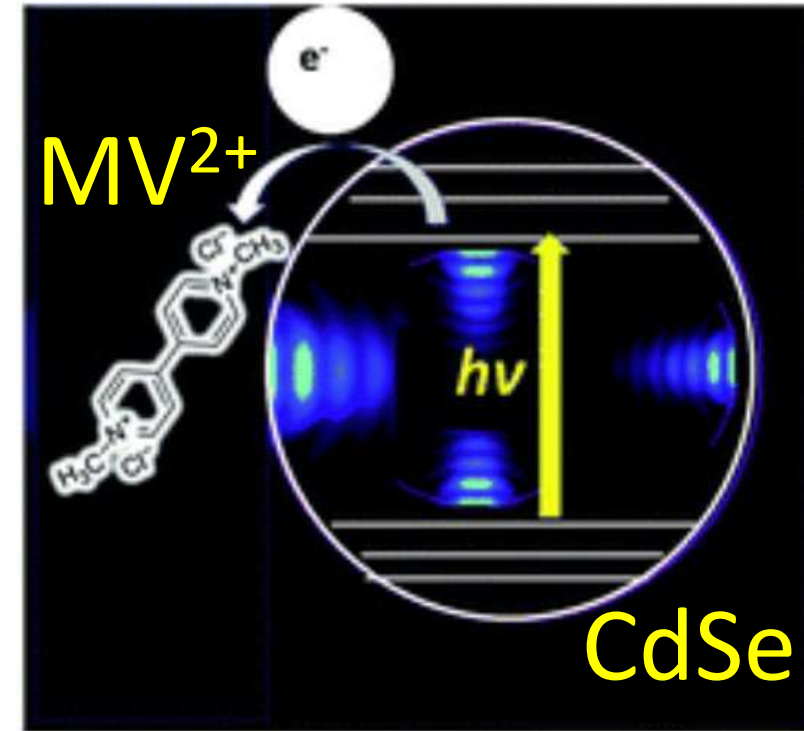
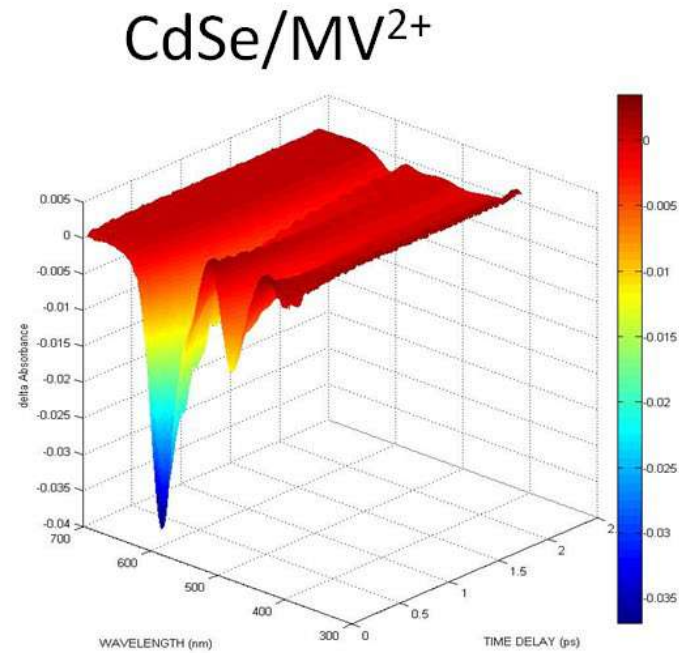
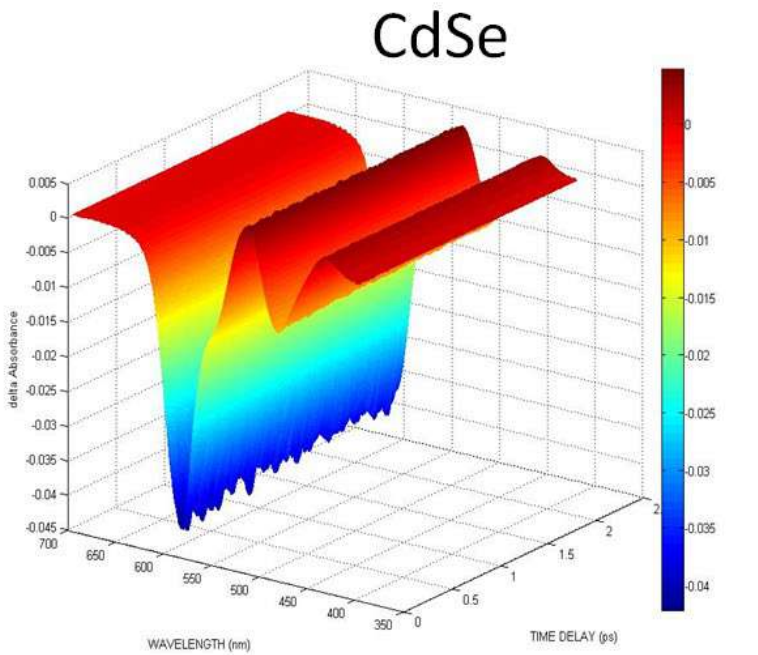


CONTINUOUS WAVELET TRANSFORM (CWT)

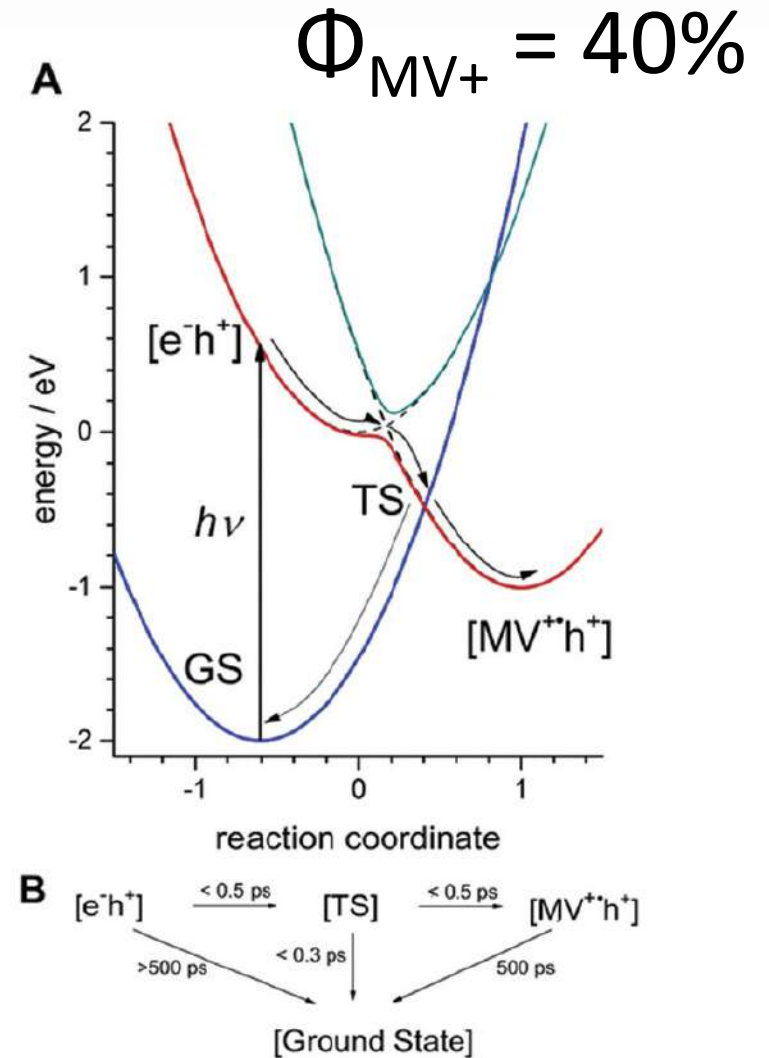
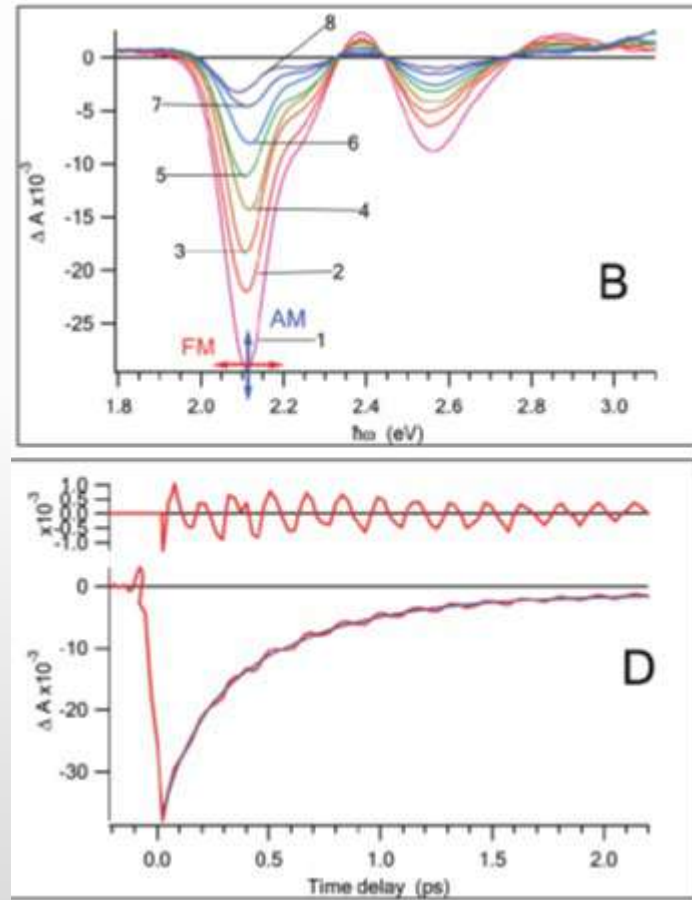
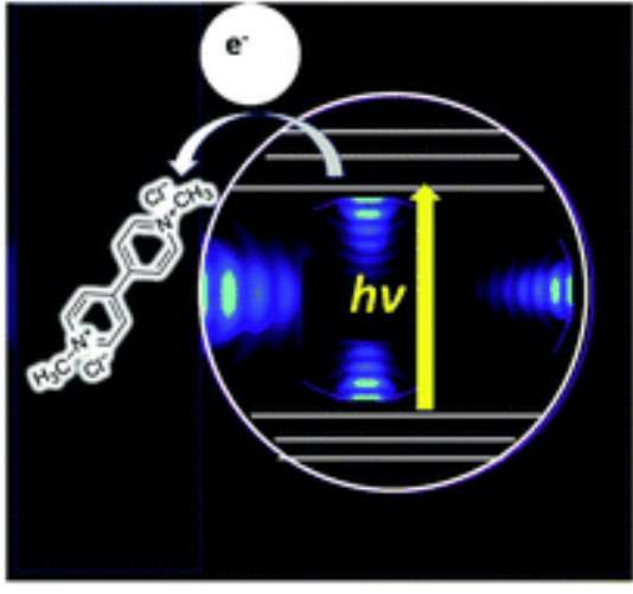
временная зависимость частоты от времени : чирп



Реакция переноса электрона с участием ЭКСИТОНА



mechanism of MV^{2+} reduction by excited QDs



2 exp decay 164 fs ($\sim 30\%$) and 540 fs ($\sim 70\%$)

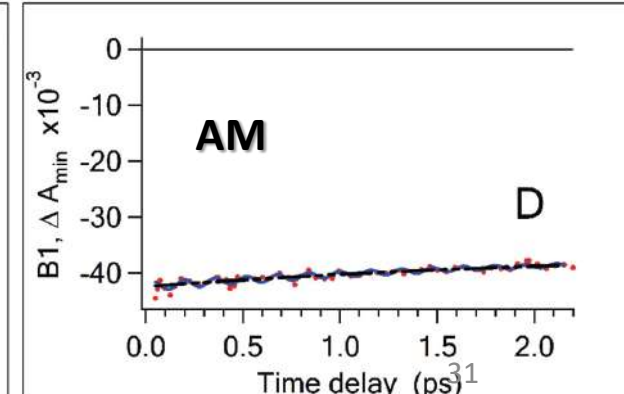
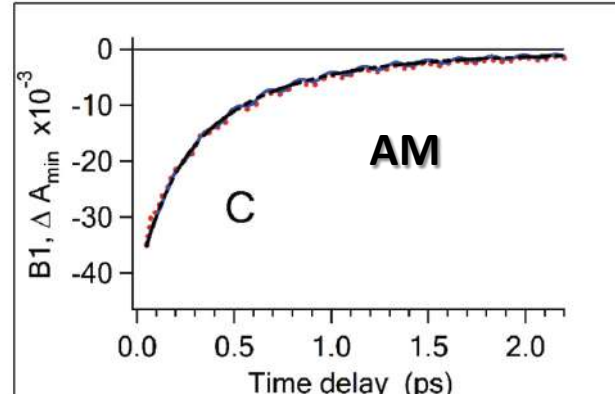
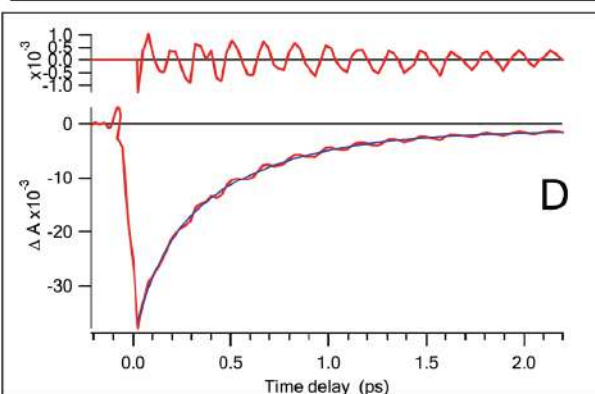
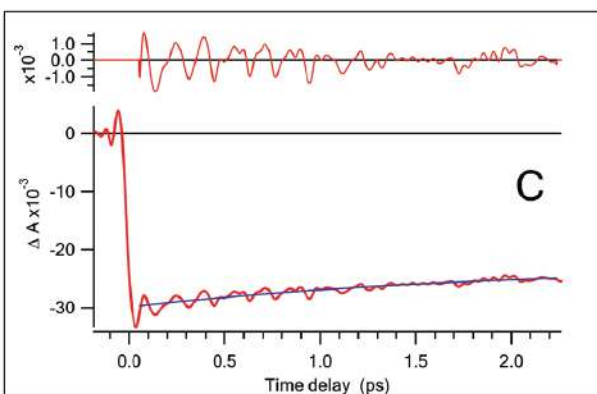
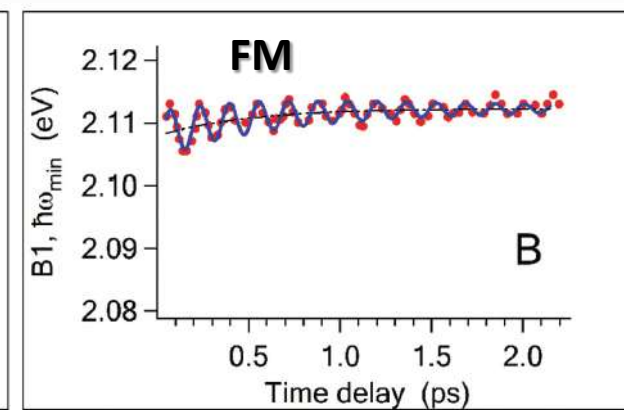
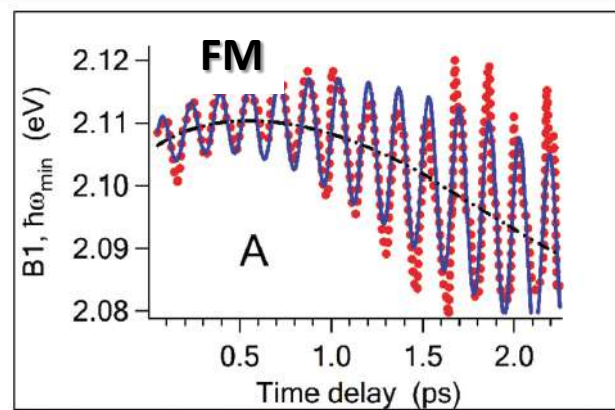
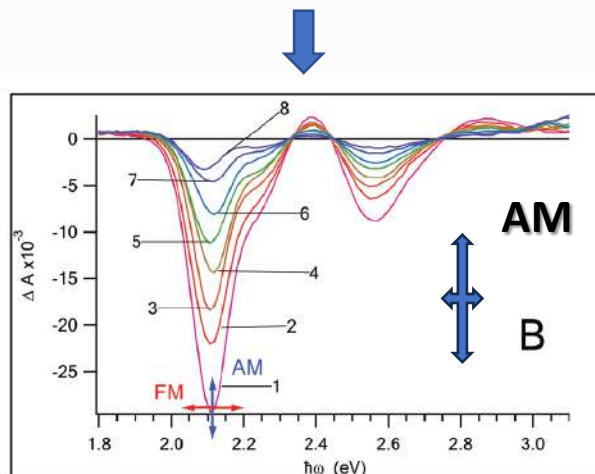
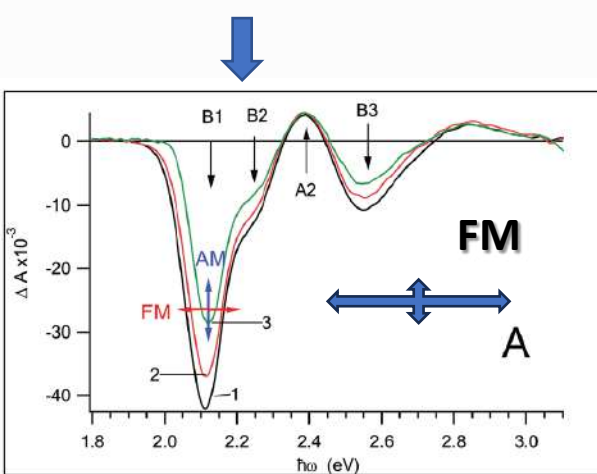
КОГЕРЕНТНЫЙ ВОЛНОВОЙ ПАКЕТ В CdSe: эффект быстрого переноса электрона

CdSe

CdSe/MV²⁺

CdSe/MV²⁺

CdSe



Inverse piezoelectric effect and LA phonon excitation

$\tau_{AO} \sim 1.7-2.0 \text{ ps}$ $\tau_{MV^+} < 0.5 \text{ ps}$

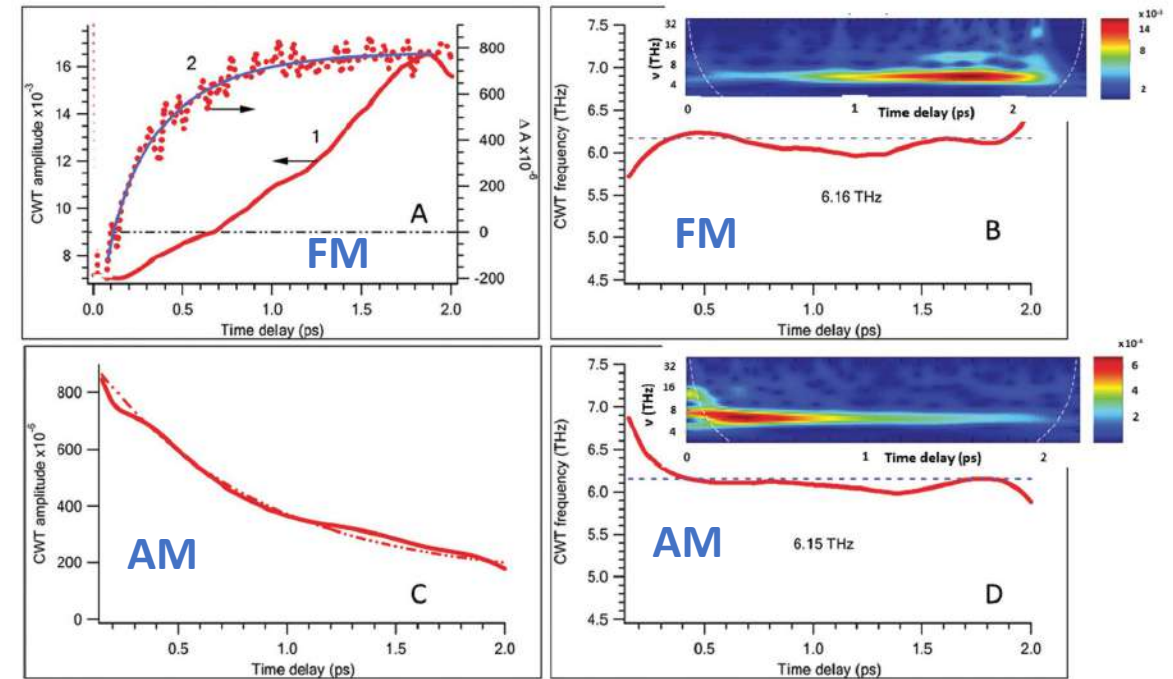
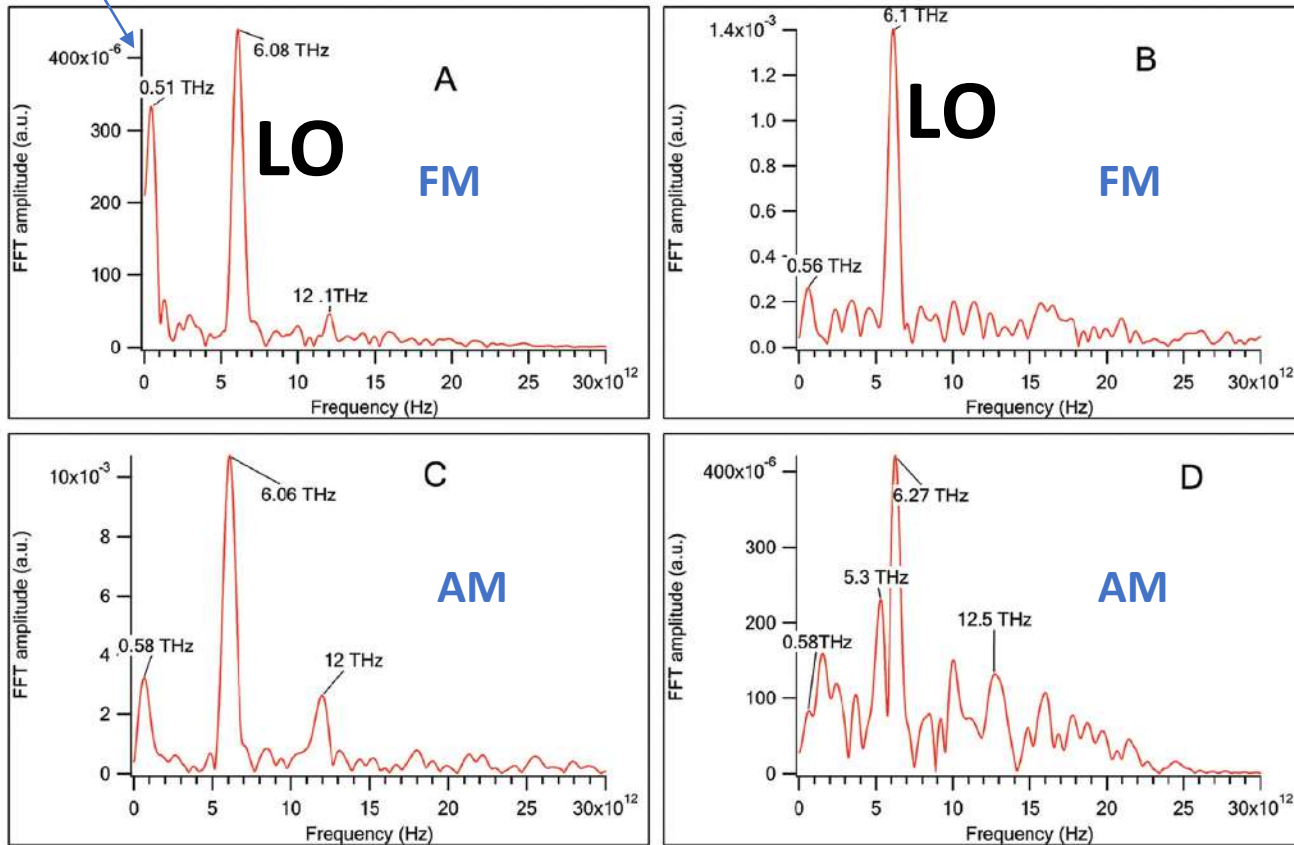
$F = 5 \times 10^6 \text{ V cm}^{-1}$

CdSe/MV²⁺

CdSe

CdSe/MV²⁺

AO



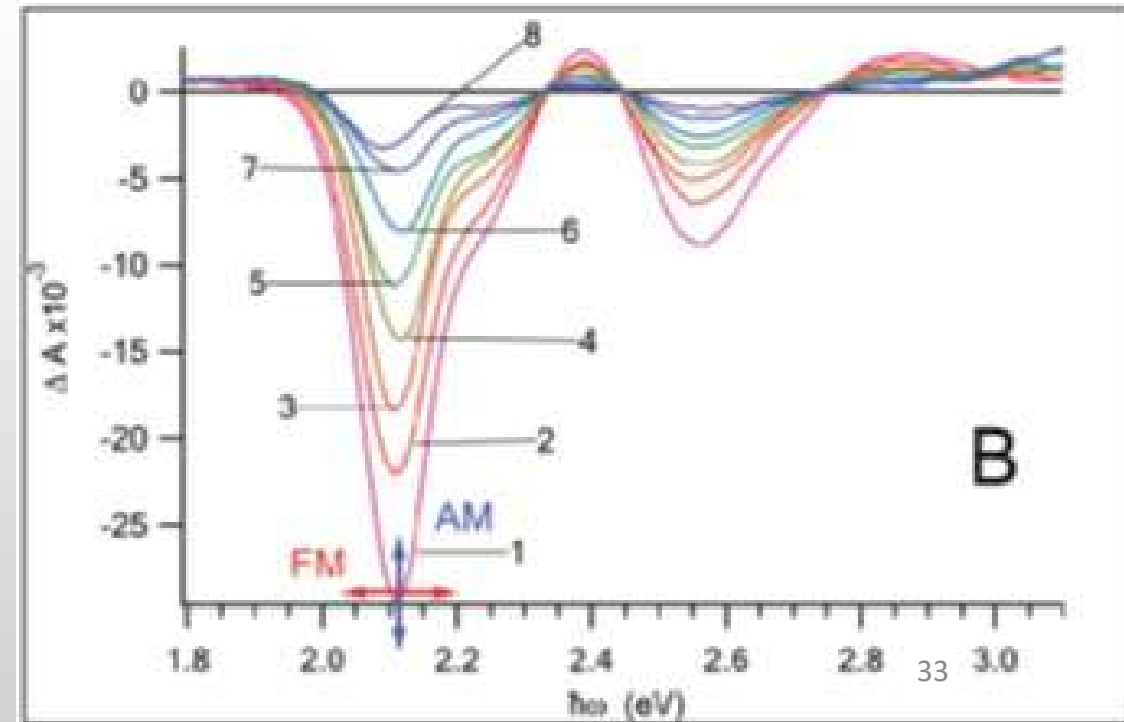
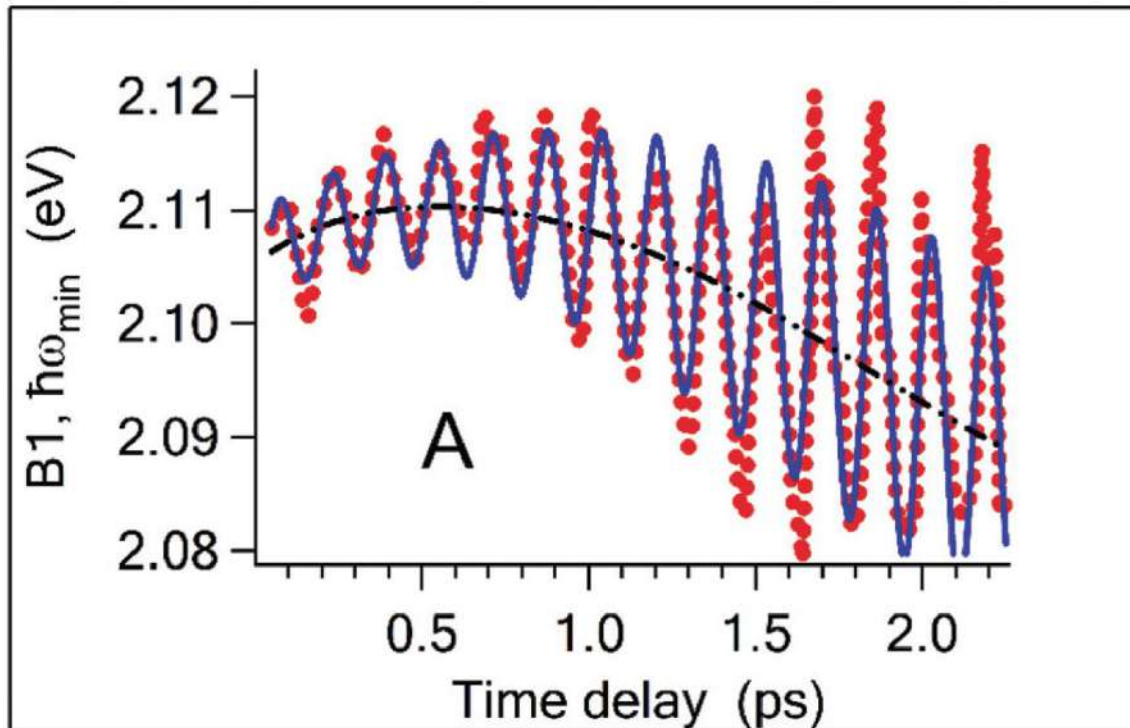
Electro-absorption effects

$$F = 5 \times 10^6 \text{ V cm}^{-1}$$

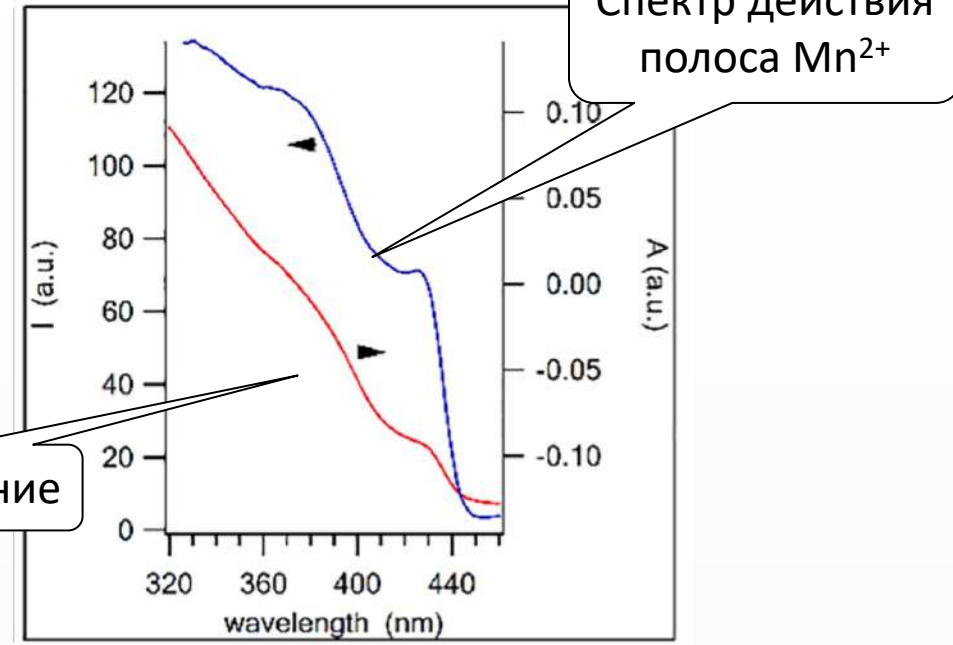
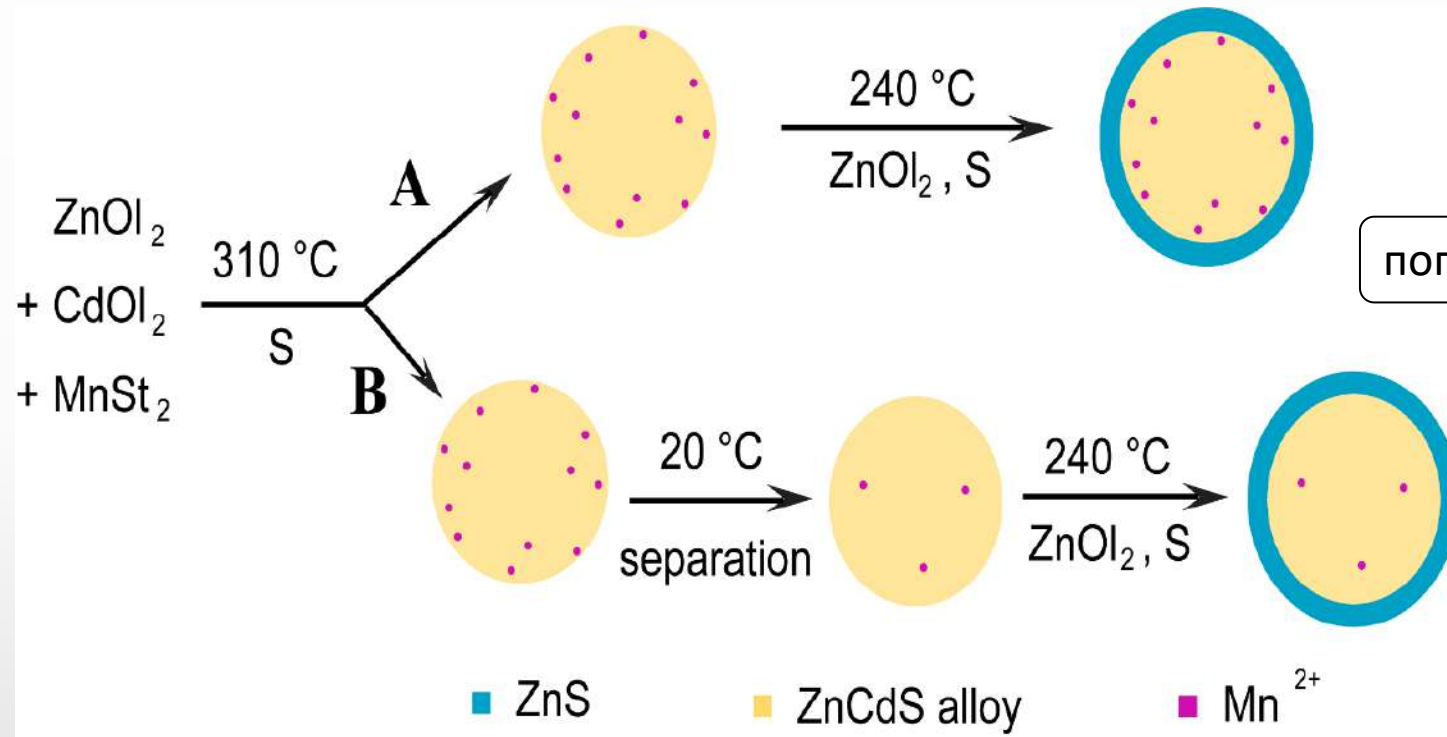
$$\mu_0 = 76 \text{ D}$$

$$\Delta E = \mu_0 \cdot F - \frac{1}{2} \alpha_0 \cdot F^2.$$

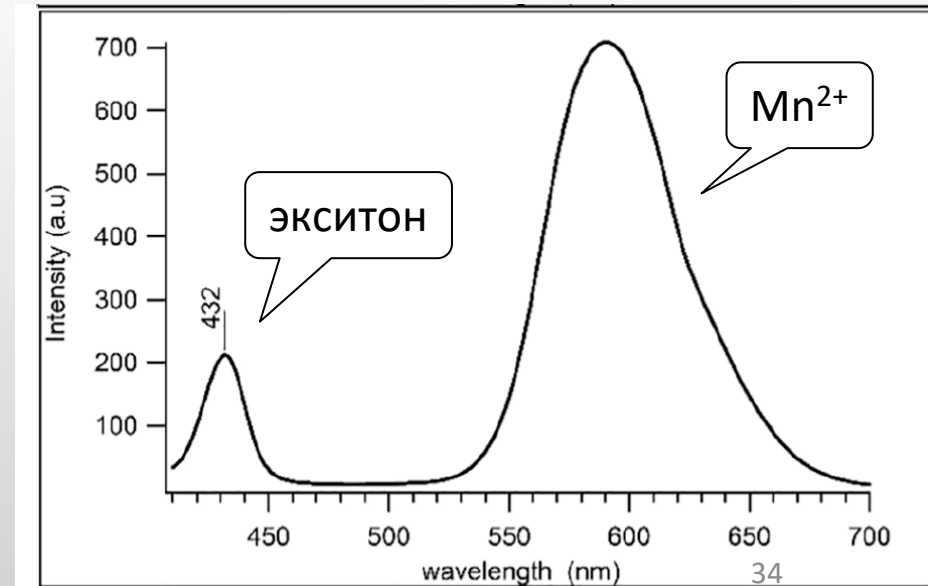
образование $[h^+ \dots MV \bullet +]$ вызывает красное смещение полосы B1 и увеличивает амплитуду FM колебаний.



Синтез $Mn:Zn_xCd_{1-x}S/ZnS$



Флуоресценция

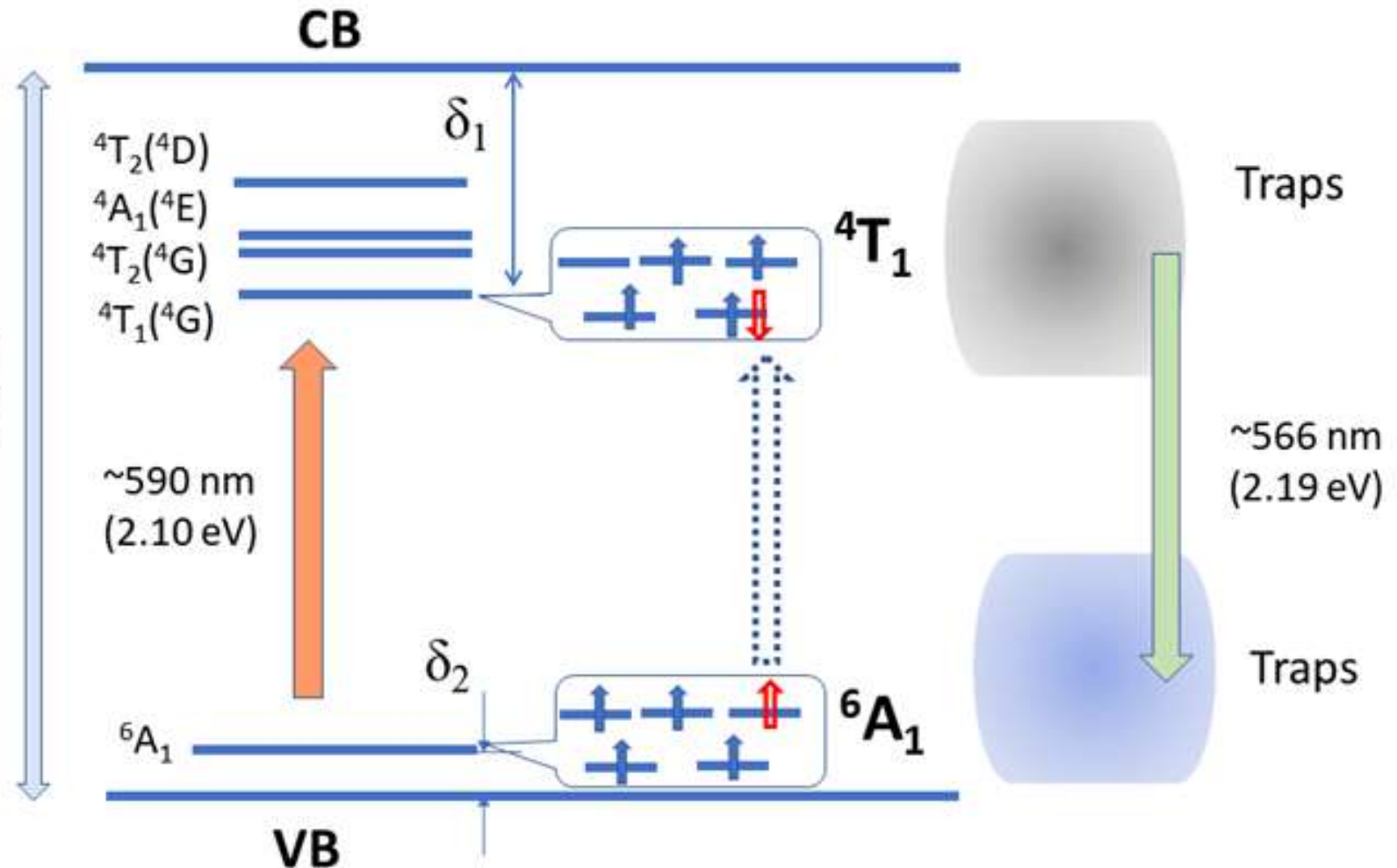


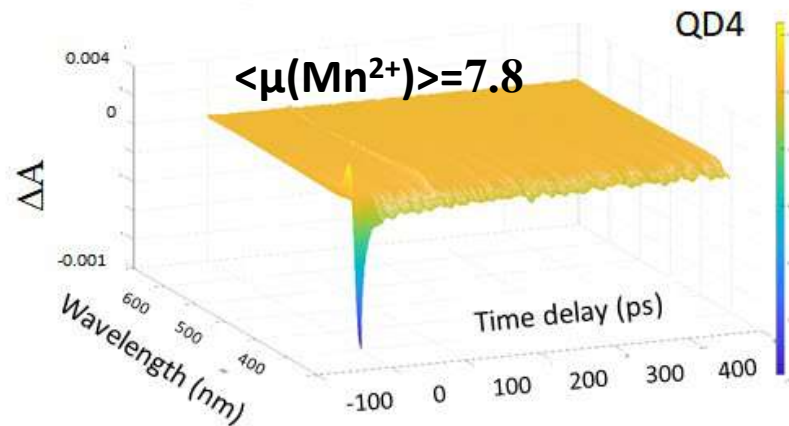
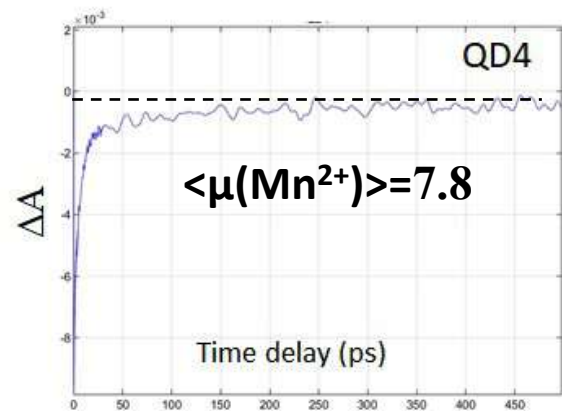
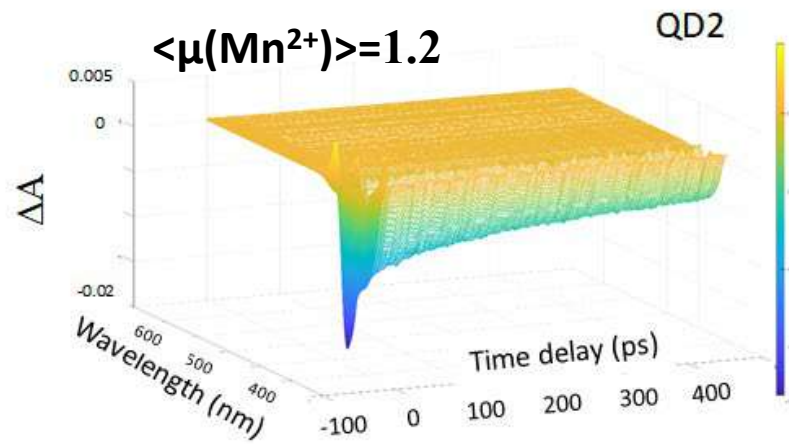
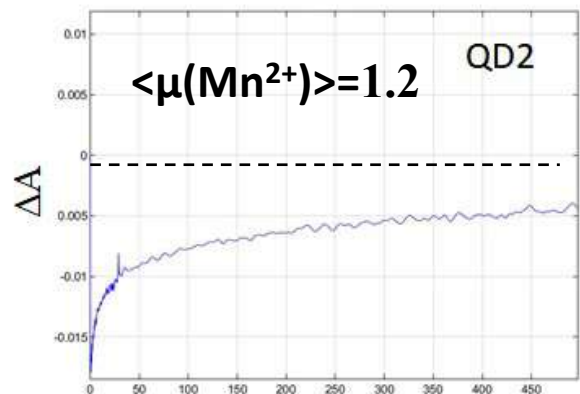
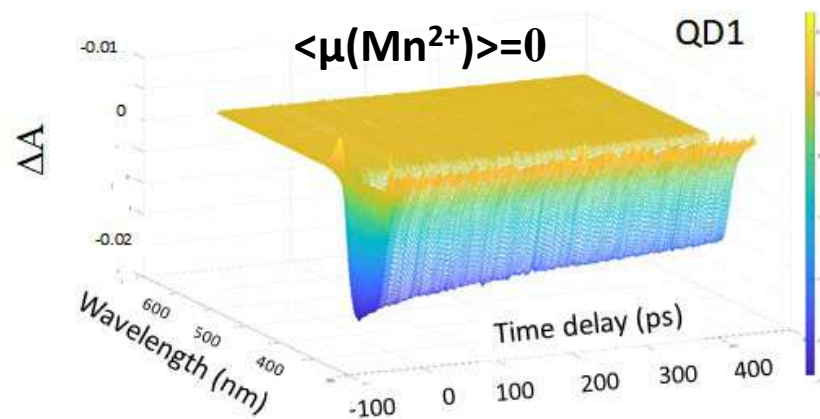
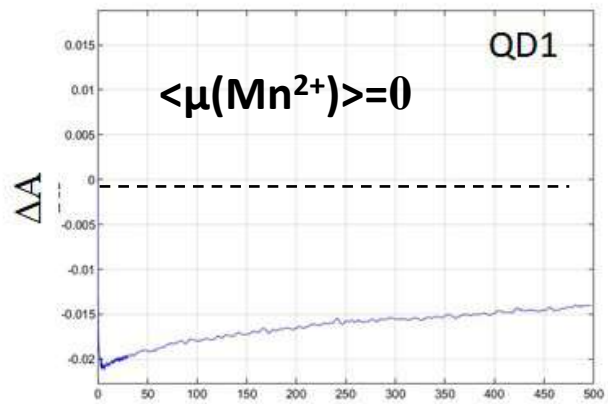
- V. Nadochenko et al. Appl. Phys. A Mater. Sci. Process. 2023
 V. Nadochenko et al. J. of Photochem. and Photobiol. A: Chemistry 2022
 V. Nadochenko et al. Current Opinion in Chemical Engineering 2021
 D.Cherepanov et al. Nanomater. 2021
 Y.A. Kabachii MENDELEEV Commun. 2021
 V. Nadochenko et al. Appl. Phys. A Mater. Sci. Process. 2020
 V. Nadochenko et al. Chem. Phys. Lett. 2020
 A.Gulin et al Appl. Surf. Sci. 2019

Alloy $\text{Zn}_{0.5}\text{Cd}_{0.5}\text{S}$ & $\text{Zn}_{0.5}\text{Cd}_{0.5}\text{S}/\text{ZnS}$ QDs doped with Mn^{2+}

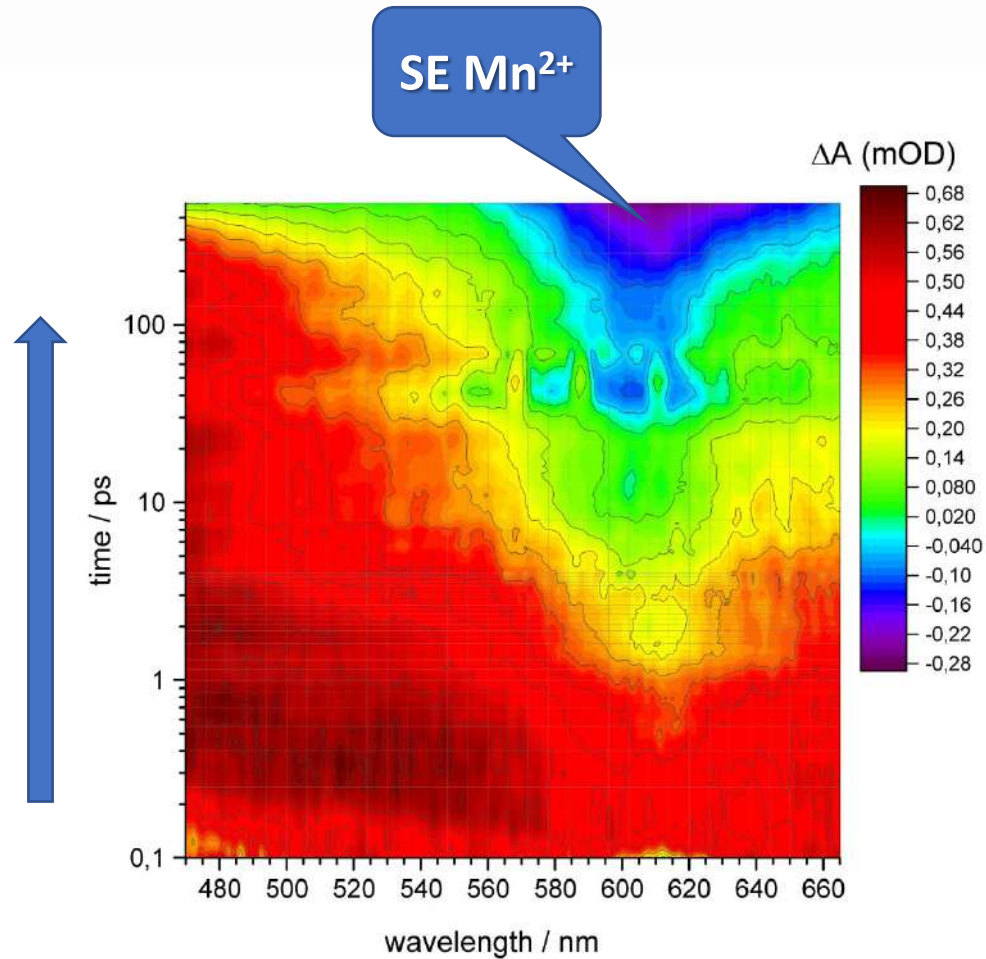
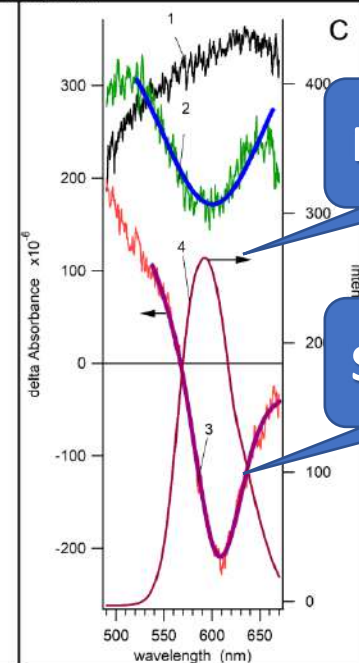
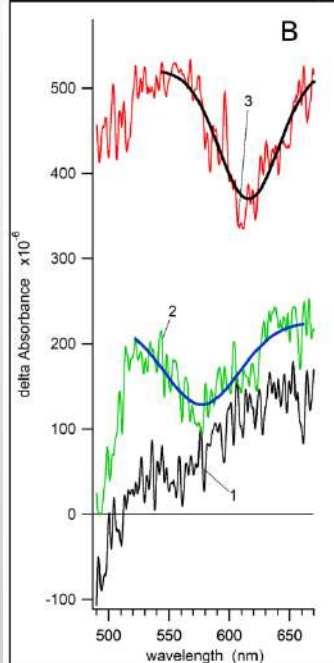
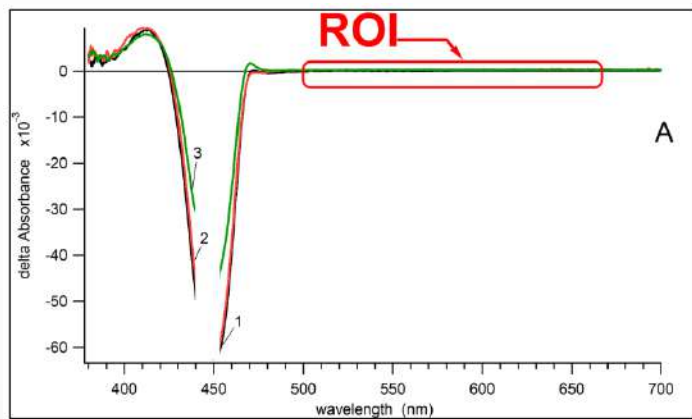
$\delta_1 + \delta_2 \sim 1\text{eV}$

QD2, 430 nm (2.88 eV)
QD3, 402 nm (3.08 eV)

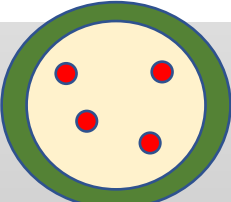
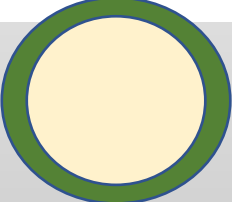
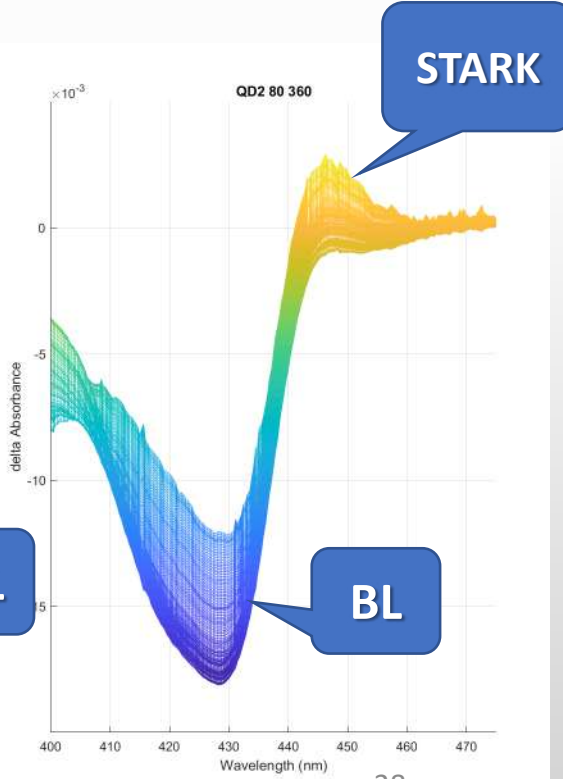
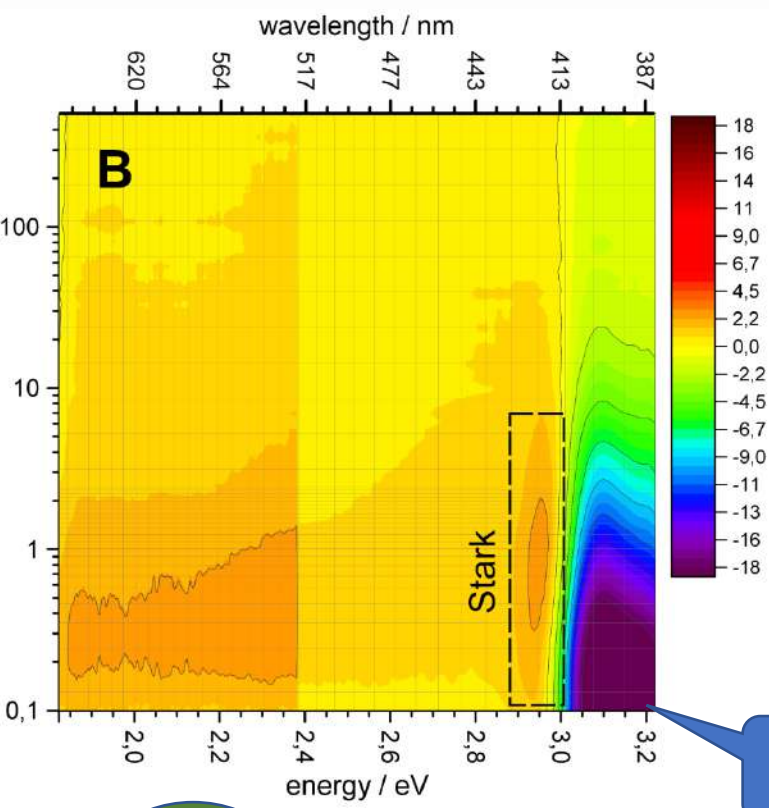
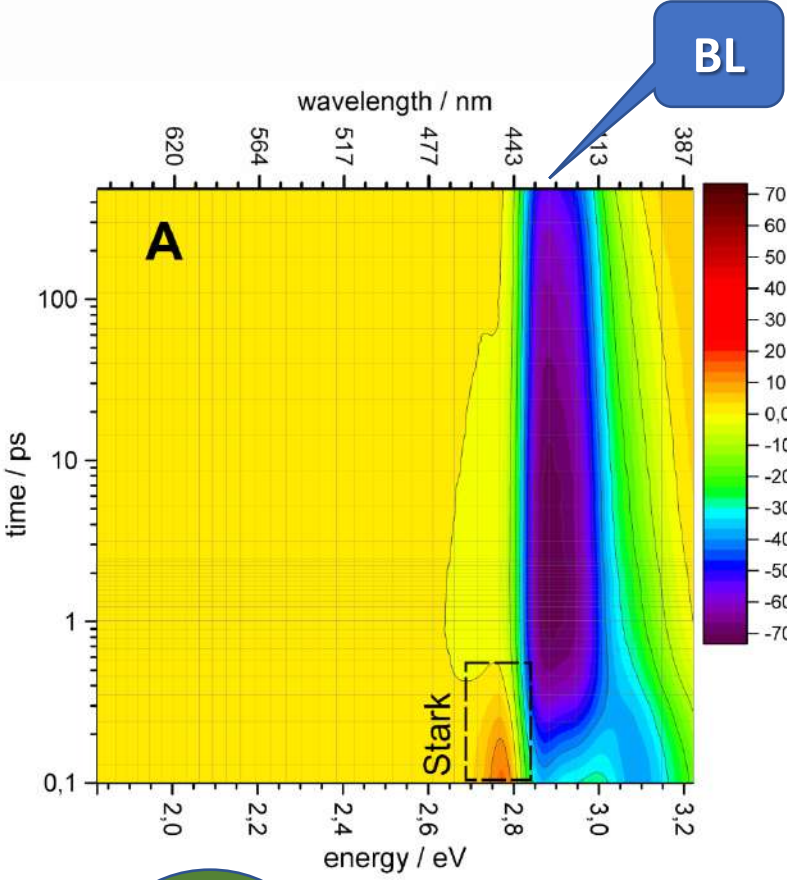




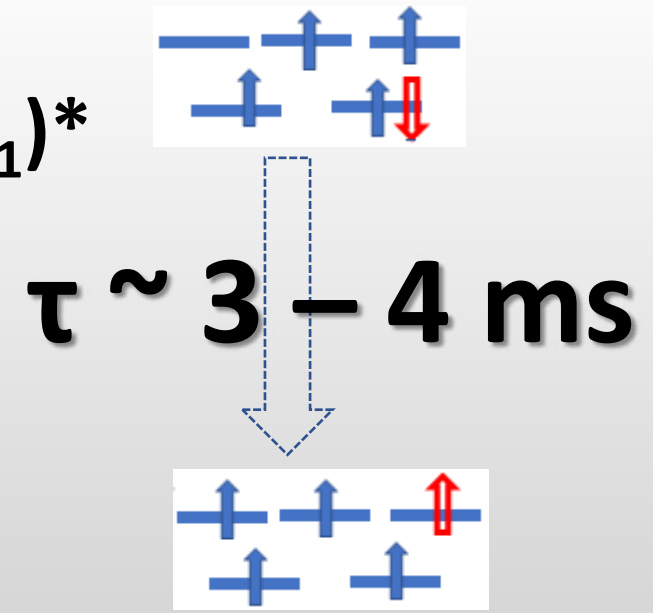
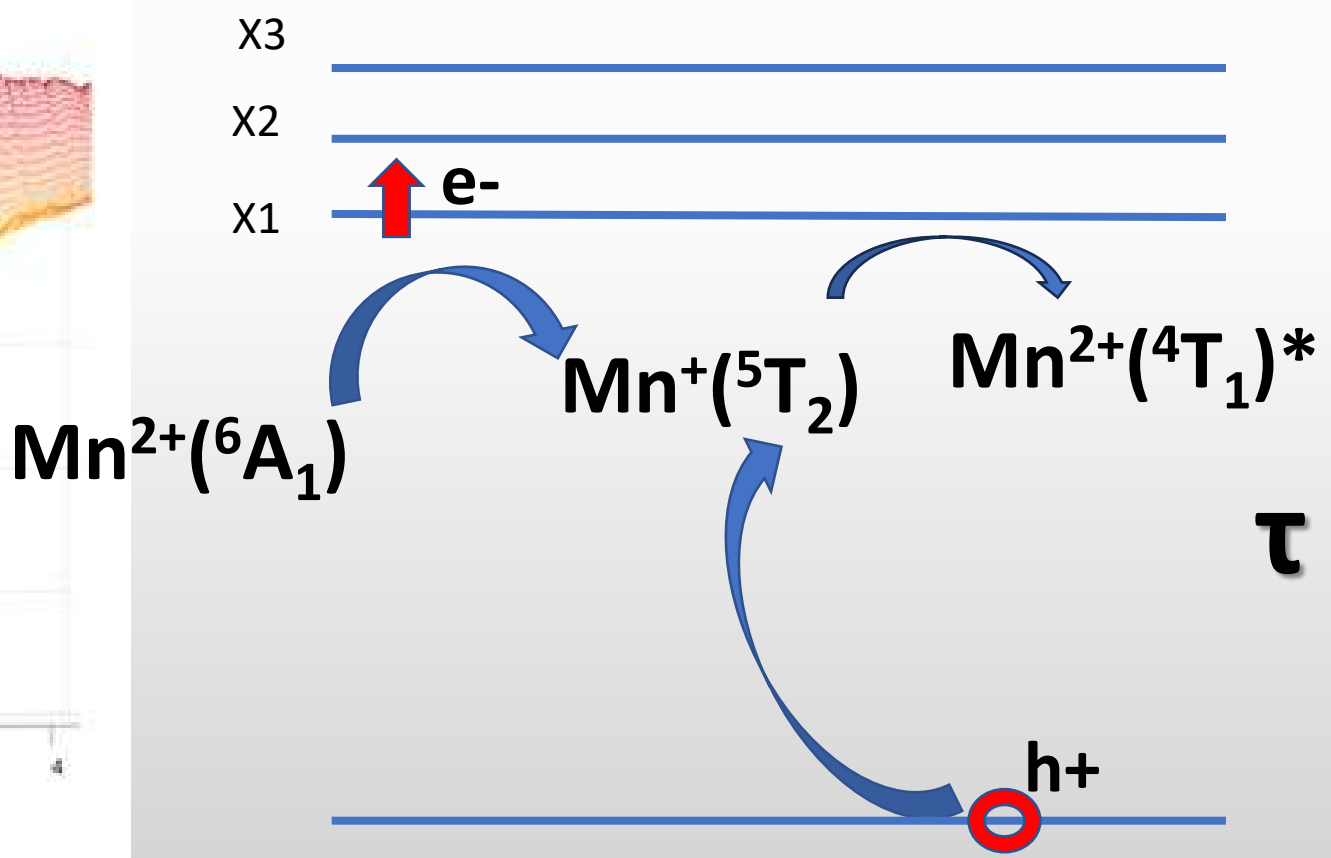
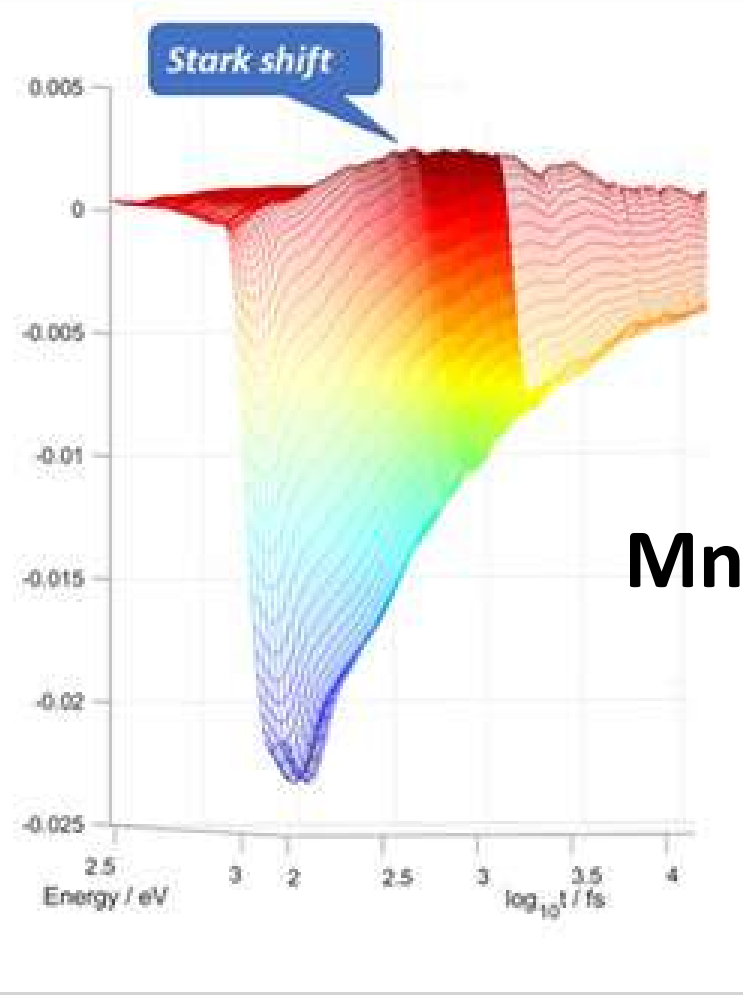
Stimulated emission of Mn(II)



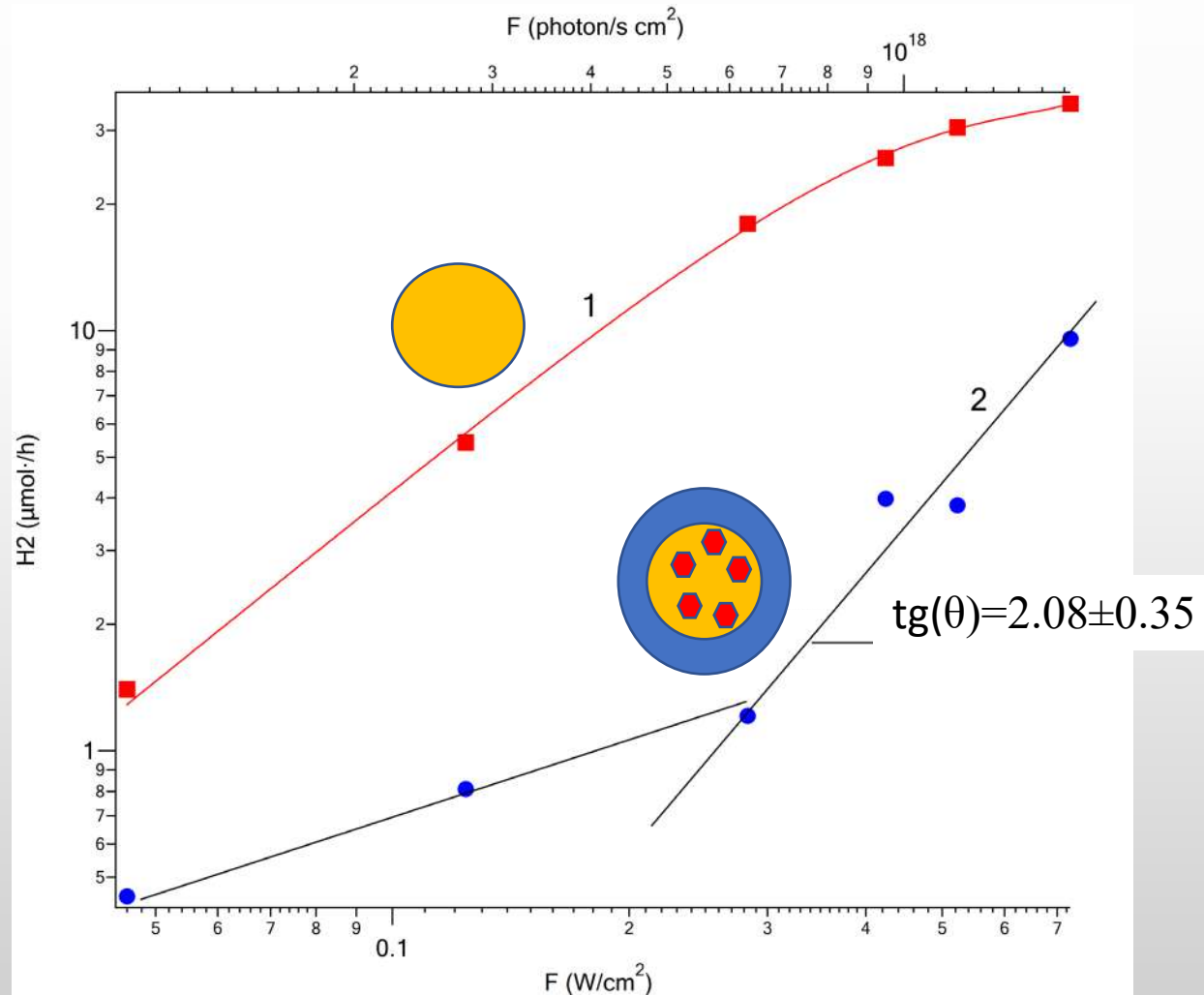
Delayed Stark peak



Mn²⁺ excitation scheme



H₂ rate vs flux F

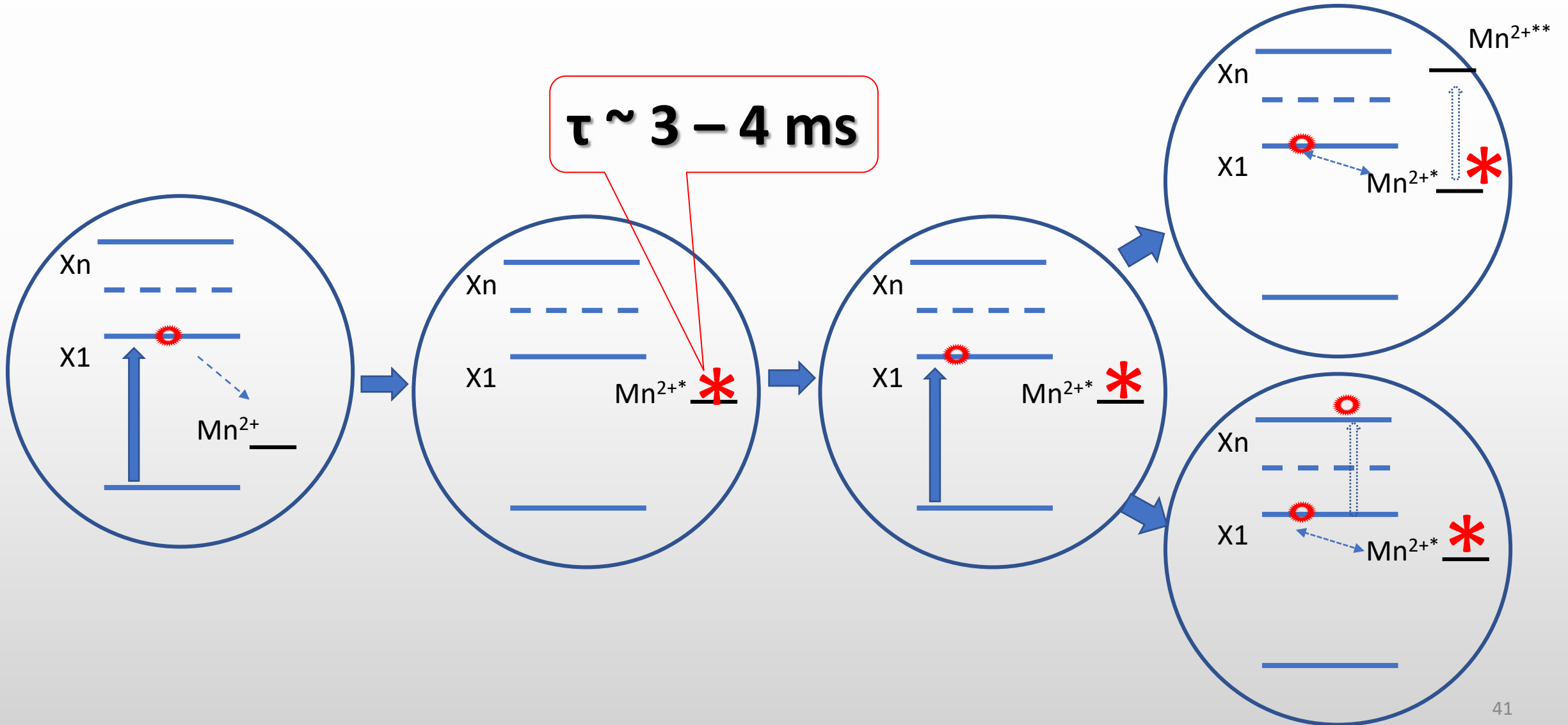


$$F \sim 7 \cdot 10^{17} \text{ photons}/(\text{sec cm}^2)$$

$$\sigma_{\text{abs}} \sim 5 \cdot 10^{-16} \text{ cm}^2$$

$$\sigma_{\text{abs}} \cdot F = 350 \sim 1/\tau = 250-330 \text{ (1/sec)}$$

Mn²⁺ participation in the hot states generation



Оптические
измерения

Гостев Ф.Е.
Шелаев И.В.
Костров А.Н.
Айбуш А.В.
Гулин А.А.
Астафьев А.А.
Шахов А.М.
Васин А.А.
Корозникова К.

Анализ фс спектров

Черепанов Д.А.
Добряков А.Л.

Теория

С.Я.Уманский

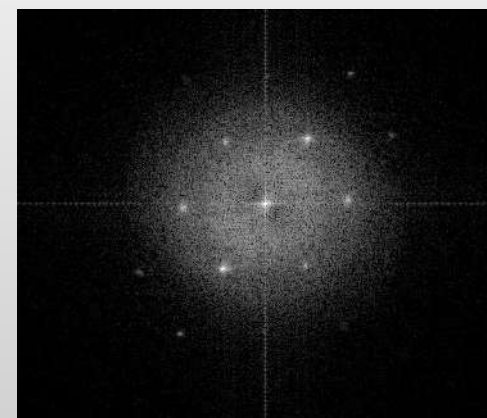
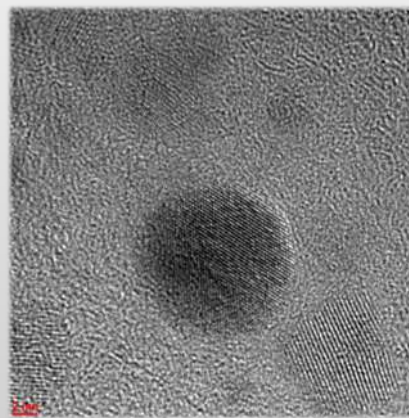
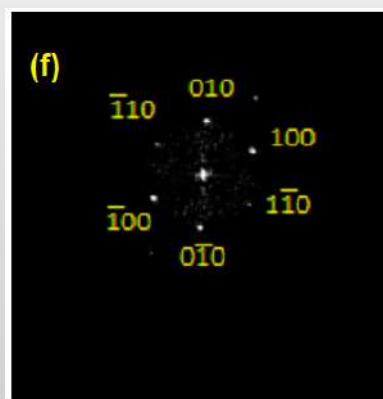
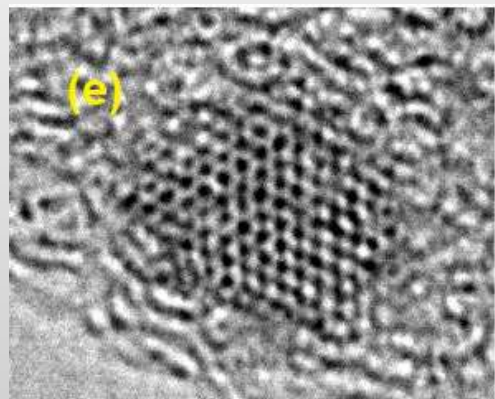
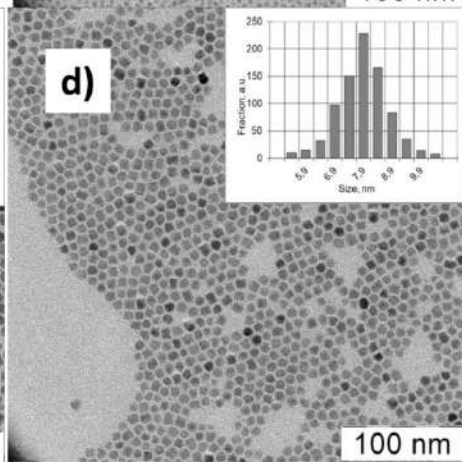
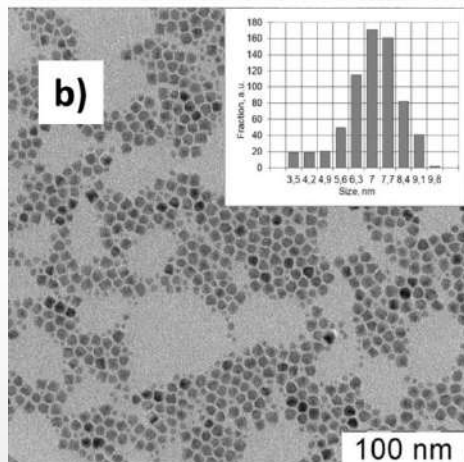
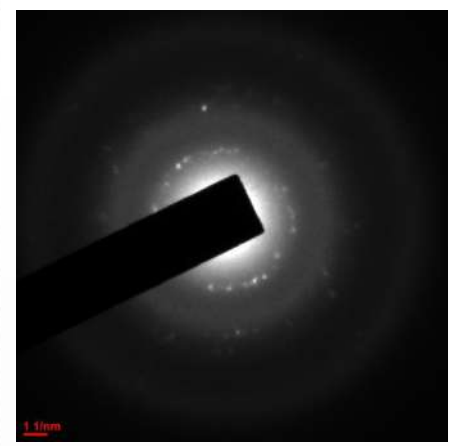
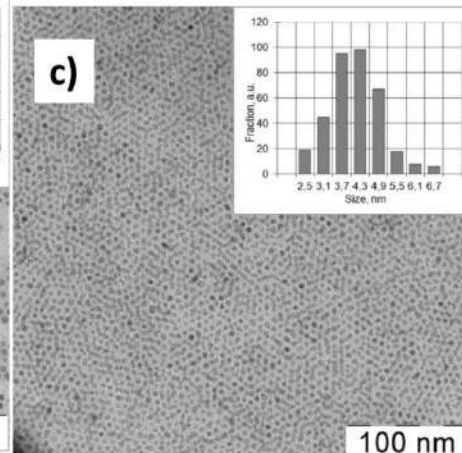
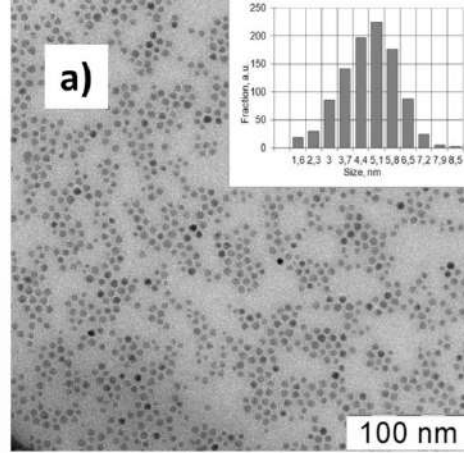
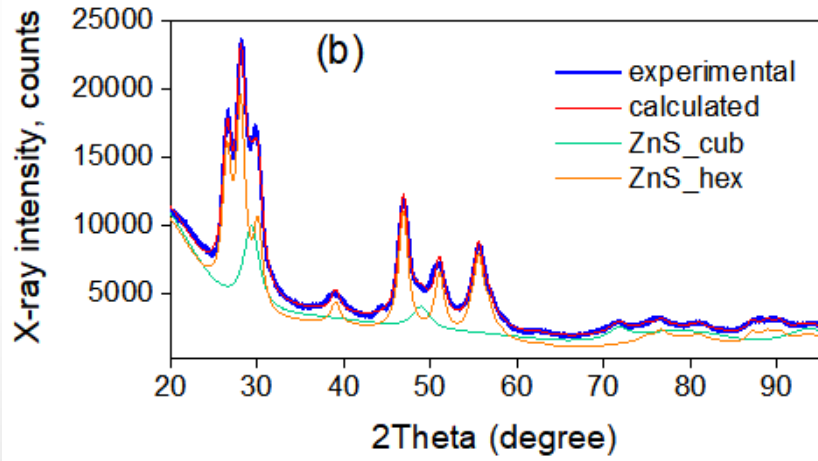
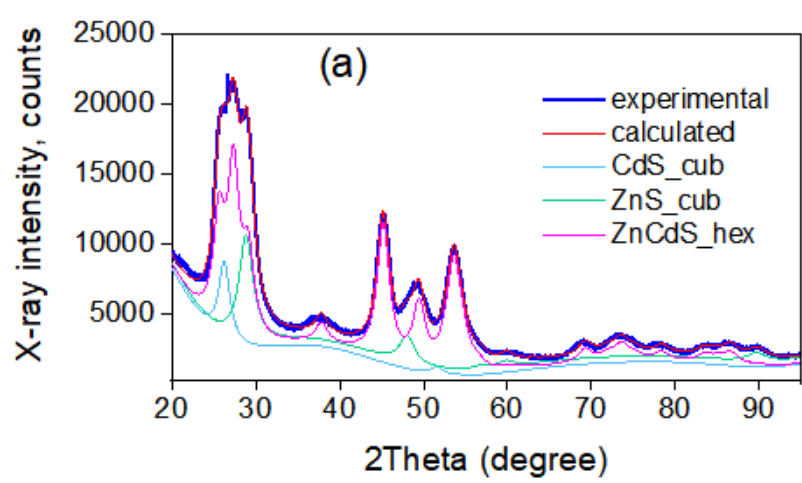
ЭПР

Мотякин М.В.

Синтез

Кочев С.Ю.
Кабачий Ю.А.
Антонова О.

**И особое спасибо А.А.Берлину
за то, что познакомил меня с П.М. Валецким**



degrees of freedom	dispersion (kinetic energy)	density of states (close to the conduction band)	effective density of states (at the conduction band)
3D (bulk)	$E = \frac{\hbar^2}{2m^*} (k_x^2 + k_y^2 + k_z^2)$	$\rho_{3D} = \frac{1}{2\pi^2} \left(\frac{2m^*}{\hbar^2} \right)^{3/2} (E - E_c)^{1/2}$	$N_c^{3D} = \frac{1}{\sqrt{2}} \left[\frac{m^* kT}{\pi \hbar^2} \right]^{3/2}$
2D (film)	$E = \frac{\hbar^2}{2m^*} (k_x^2 + k_y^2)$	$\rho_{2D} = \sum_n \frac{m^*}{\pi \hbar^2} H(E - E_c)$	$N_c^{2D} = \frac{m^* kT}{\pi \hbar^2}$
1D (wire)	$E = \frac{\hbar^2}{2m^*} (k_x^2)$	$f_B(E_c) = N_c e^{-(E_c - EF)/kT}$ $\rho_{1D} = \frac{m^*}{\pi \hbar} \delta(E - E_c)$	$N_c^{1D} = \sqrt{\frac{m^* kT}{2\pi \hbar^2}}$
0D (dot)	a	$\rho_{0D} = 2\delta(E - E_c)$	$N_c^{0D} = 2$

$$f_B(E_c) = N_c e^{-(E_c - EF)/kT}$$